Ein und Ausgabe: Farbmetrisches Drucker-Reflektiv-System FRS09_92a für relativen CIELAB-Buntton $h^* = lab^*h^* = h_{ab}/360 = 0.451$ $u^*_e = g00b$

Daten für jede Farbe:
*lab*tch** und *lab*icu**
Buntontexte:
$u^*_e = g00b$ $u^*_d = l23c$
Kontrastreduzierungsfaktor:
$c_R = 1.0$
Dreiecks-Helligkeit t^*

Daten für Maximalfarbe (Ma):
$LAB^*LAB^*_{Ma}$: 48 −49 16
$LAB^*LCH^*_{Ma}$: 48 52 162
$lab^*rgb^*_{Ma}$: 0.0 1.0 0.0
$lab^*olv^*_{Ma}$: 0.0 1.0 0.23
Dreiecks-Helligkeit t^*

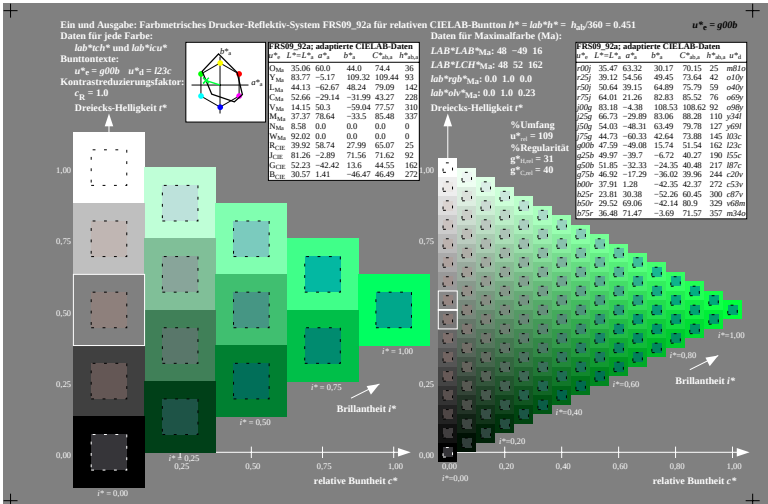

FRS09_92a; adaptierte CIELAB-Daten

	L^*	L^*_{ab}	a^*	b^*	$C^*_{ab,a}$	$h^*_{ab,a}$	u^*_d
O_{Ma}	35.06	60.0	44.0	74.4	36		
Y_{Ma}	83.77	−5.17	109.32	109.44	93		
L_{Ma}	44.13	−62.67	48.24	79.09	142		
C_{Ma}	52.66	−29.14	−31.99	43.27	228		
V_{Ma}	14.15	50.3	−59.84	77.57	310		
M_{Ma}	37.37	78.64	−33.5	85.48	337		
N_{Ma}	8.58	0.0	0.0	0.0	0		
W_{Ma}	92.02	0.0	0.0	0.0	0		
R_{CIE}	39.92	58.74	27.99	65.07	25		
J_{CIE}	81.26	−2.89	71.56	71.62	92		
G_{CIE}	52.23	−42.42	13.6	44.55	162		
B_{CIE}	30.57	1.41	−46.47	46.49	272		

FRS09_92a; adaptierte CIELAB-Daten

	L^*	L^*_{ab}	a^*	b^*	$C^*_{ab,a}$	$h^*_{ab,a}$	u^*_d
r00j	35.47	63.32	30.17	70.15	25	m81b	
r25j	39.12	54.56	49.45	73.64	42	o10y	
r50j	50.64	39.15	64.89	75.79	59	o40y	
r75j	64.01	21.26	82.83	85.52	76	o69y	
y00g	83.18	−4.38	108.53	108.62	92	o98y	
y25g	66.73	−29.89	83.06	88.28	110	y34l	
y50g	54.03	−48.31	63.49	79.78	127	y69l	
y75g	44.73	−60.33	42.64	73.88	145	l03c	
g00b	47.59	−49.08	15.74	51.54	162	l23c	
g25b	49.97	−39.7	−6.72	40.27	190	l55c	
g50b	51.85	−32.33	−24.35	40.48	217	l87c	
g75b	46.92	−17.29	−36.02	39.96	244	c20v	
b00r	37.91	1.28	−42.35	42.37	272	c53v	
b25r	23.81	30.38	−52.26	60.45	300	c87v	
b50r	29.52	69.06	−42.14	80.9	329	v68m	
b75r	36.48	71.47	−3.69	71.57	357	m34b	

Ein und Ausgabe: Farbmetrisches Drucker-Reflektiv-System FRS09_92a für relativen CIELAB-Buntton $h^* = lab^*h^* = h_{ab}/360 = 0.527$ $u^*_e = g25b$

Daten für jede Farbe:
*lab*tch** und *lab*icu**
Buntontexte:
$u^*_e = g25b$ $u^*_d = l55c$
Kontrastreduzierungsfaktor:
$c_R = 1.0$
Dreiecks-Helligkeit t^*

Daten für Maximalfarbe (Ma):
$LAB^*LAB^*_{Ma}$: 50 −40 −7
$LAB^*LCH^*_{Ma}$: 50 40 189
$lab^*rgb^*_{Ma}$: 0.0 1.0 0.5
$lab^*olv^*_{Ma}$: 0.0 1.0 0.55
Dreiecks-Helligkeit t^*

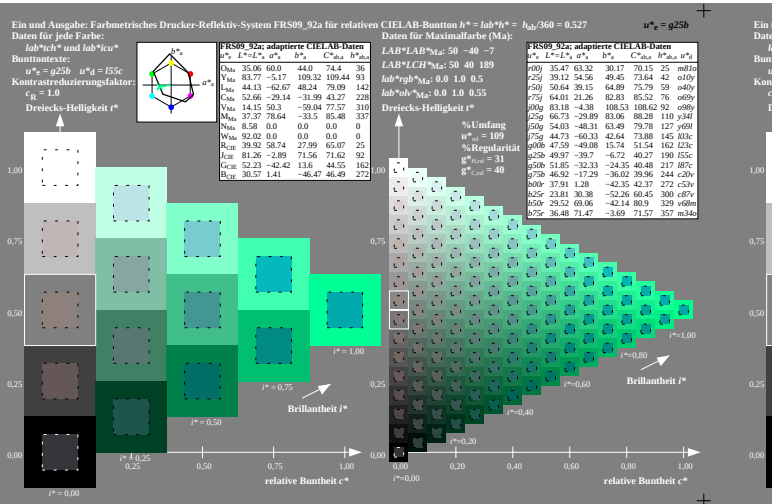

FRS09_92a; adaptierte CIELAB-Daten

	L^*	L^*_{ab}	a^*	b^*	$C^*_{ab,a}$	$h^*_{ab,a}$	u^*_d
O_{Ma}	35.06	60.0	44.0	74.4	36		
Y_{Ma}	83.77	−5.17	109.32	109.44	93		
L_{Ma}	44.13	−62.67	48.24	79.09	142		
C_{Ma}	52.66	−29.14	−31.99	43.27	228		
V_{Ma}	14.15	50.3	−59.84	77.57	310		
M_{Ma}	37.37	78.64	−33.5	85.48	337		
N_{Ma}	8.58	0.0	0.0	0.0	0		
W_{Ma}	92.02	0.0	0.0	0.0	0		
R_{CIE}	39.92	58.74	27.99	65.07	25		
J_{CIE}	81.26	−2.89	71.56	71.62	92		
G_{CIE}	52.23	−42.42	13.6	44.55	162		
B_{CIE}	30.57	1.41	−46.47	46.49	272		

FRS09_92a; adaptierte CIELAB-Daten

	L^*	L^*_{ab}	a^*	b^*	$C^*_{ab,a}$	$h^*_{ab,a}$	u^*_d
r00j	35.47	63.32	30.17	70.15	25	m81b	
r25j	39.12	54.56	49.45	73.64	42	o10y	
r50j	50.64	39.15	64.89	75.79	59	o40y	
r75j	64.01	21.26	82.83	85.52	76	o69y	
y00g	83.18	−4.38	108.53	108.62	92	o98y	
y25g	66.73	−29.89	83.06	88.28	110	y34l	
y50g	54.03	−48.31	63.49	79.78	127	y69l	
y75g	44.73	−60.33	42.64	73.88	145	l03c	
g00b	47.59	−49.08	15.74	51.54	162	l23c	
g25b	49.97	−39.7	−6.72	40.27	190	l55c	
g50b	51.85	−32.33	−24.35	40.48	217	l87c	
g75b	46.92	−17.29	−36.02	39.96	244	c20v	
b00r	37.91	1.28	−42.35	42.37	272	c53v	
b25r	23.81	30.38	−52.26	60.45	300	c87v	
b50r	29.52	69.06	−42.14	80.9	329	v68m	
b75r	36.48	71.47	−3.69	71.57	357	m34b	

Ein und Ausgabe: Farbmetrisches Drucker-Reflektiv-System FRS09_92a für relativen CIELAB-Buntton $h^* = lab^*h^* = h_{ab}/360 = 0.603$ $u^*_e = g50b$

Daten für jede Farbe:
*lab*tch** und *lab*icu**
Buntontexte:
$u^*_e = g50b$ $u^*_d = l87c$
Kontrastreduzierungsfaktor:
$c_R = 1.0$
Dreiecks-Helligkeit t^*

Daten für Maximalfarbe (Ma):
$LAB^*LAB^*_{Ma}$: 52 −32 −24
$LAB^*LCH^*_{Ma}$: 52 40 216
$lab^*rgb^*_{Ma}$: 0.0 1.0 1.0
$lab^*olv^*_{Ma}$: 0.0 1.0 0.87
Dreiecks-Helligkeit t^*

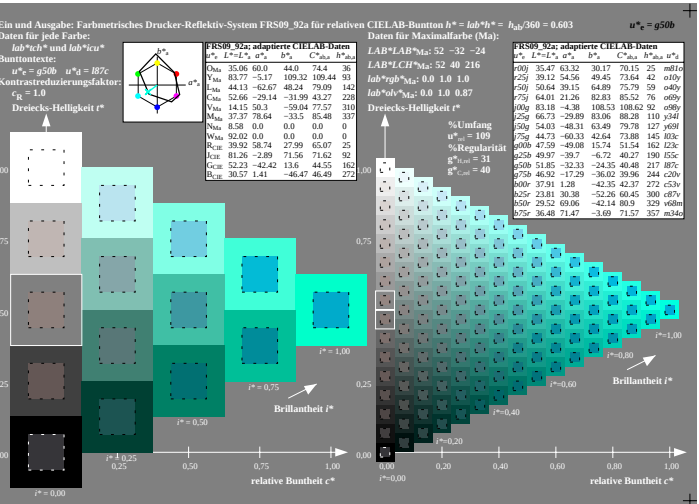

FRS09_92a; adaptierte CIELAB-Daten

	L^*	L^*_{ab}	a^*	b^*	$C^*_{ab,a}$	$h^*_{ab,a}$	u^*_d
O_{Ma}	35.06	60.0	44.0	74.4	36		
Y_{Ma}	83.77	−5.17	109.32	109.44	93		
L_{Ma}	44.13	−62.67	48.24	79.09	142		
C_{Ma}	52.66	−29.14	−31.99	43.27	228		
V_{Ma}	14.15	50.3	−59.84	77.57	310		
M_{Ma}	37.37	78.64	−33.5	85.48	337		
N_{Ma}	8.58	0.0	0.0	0.0	0		
W_{Ma}	92.02	0.0	0.0	0.0	0		
R_{CIE}	39.92	58.74	27.99	65.07	25		
J_{CIE}	81.26	−2.89	71.56	71.62	92		
G_{CIE}	52.23	−42.42	13.6	44.55	162		
B_{CIE}	30.57	1.41	−46.47	46.49	272		

FRS09_92a; adaptierte CIELAB-Daten

	L^*	L^*_{ab}	a^*	b^*	$C^*_{ab,a}$	$h^*_{ab,a}$	u^*_d
r00j	35.47	63.32	30.17	70.15	25	m81b	
r25j	39.12	54.56	49.45	73.64	42	o10y	
r50j	50.64	39.15	64.89	75.79	59	o40y	
r75j	64.01	21.26	82.83	85.52	76	o69y	
y00g	83.18	−4.38	108.53	108.62	92	o98y	
y25g	66.73	−29.89	83.06	88.28	110	y34l	
y50g	54.03	−48.31	63.49	79.78	127	y69l	
y75g	44.73	−60.33	42.64	73.88	145	l03c	
g00b	47.59	−49.08	15.74	51.54	162	l23c	
g25b	49.97	−39.7	−6.72	40.27	190	l55c	
g50b	51.85	−32.33	−24.35	40.48	217	l87c	
g75b	46.92	−17.29	−36.02	39.96	244	c20v	
b00r	37.91	1.28	−42.35	42.37	272	c53v	
b25r	23.81	30.38	−52.26	60.45	300	c87v	
b50r	29.52	69.06	−42.14	80.9	329	v68m	
b75r	36.48	71.47	−3.69	71.57	357	m34b	

Ein und Ausgabe: Farbmetrisches Drucker-Reflektiv-System FRS09_92a für relativen CIELAB-Buntton $h^* = lab^*h^* = h_{ab}/360 = 0.679$ $u^*_e = g75b$

Daten für jede Farbe:
*lab*tch** und *lab*icu**
Buntontexte:
$u^*_e = g75b$ $u^*_d = c20v$
Kontrastreduzierungsfaktor:
$c_R = 1.0$
Dreiecks-Helligkeit t^*

Daten für Maximalfarbe (Ma):
$LAB^*LAB^*_{Ma}$: 47 −17 −36
$LAB^*LCH^*_{Ma}$: 47 40 244
$lab^*rgb^*_{Ma}$: 0.0 0.5 1.0
$lab^*olv^*_{Ma}$: 0.0 0.8 1.0
Dreiecks-Helligkeit t^*

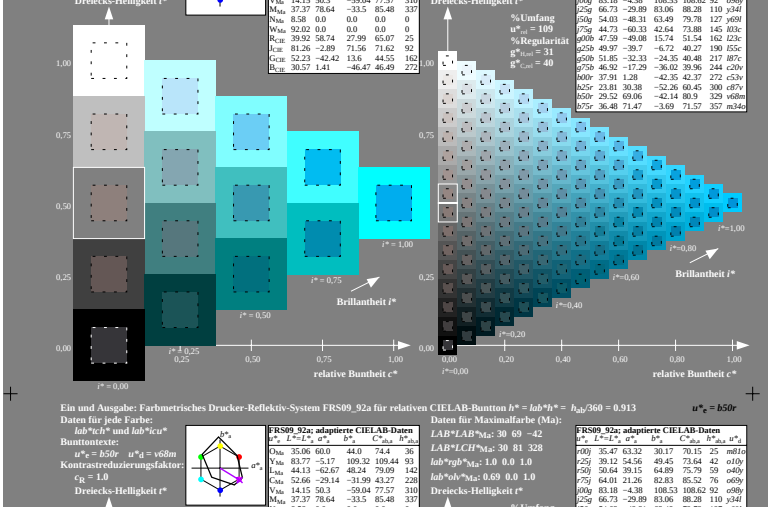

FRS09_92a; adaptierte CIELAB-Daten

	L^*	L^*_{ab}	a^*	b^*	$C^*_{ab,a}$	$h^*_{ab,a}$	u^*_d
O_{Ma}	35.06	60.0	44.0	74.4	36		
Y_{Ma}	83.77	−5.17	109.32	109.44	93		
L_{Ma}	44.13	−62.67	48.24	79.09	142		
C_{Ma}	52.66	−29.14	−31.99	43.27	228		
V_{Ma}	14.15	50.3	−59.84	77.57	310		
M_{Ma}	37.37	78.64	−33.5	85.48	337		
N_{Ma}	8.58	0.0	0.0	0.0	0		
W_{Ma}	92.02	0.0	0.0	0.0	0		
R_{CIE}	39.92	58.74	27.99	65.07	25		
J_{CIE}	81.26	−2.89	71.56	71.62	92		
G_{CIE}	52.23	−42.42	13.6	44.55	162		
B_{CIE}	30.57	1.41	−46.47	46.49	272		

FRS09_92a; adaptierte CIELAB-Daten

	L^*	L^*_{ab}	a^*	b^*	$C^*_{ab,a}$	$h^*_{ab,a}$	u^*_d
r00j	35.47	63.32	30.17	70.15	25	m81b	
r25j	39.12	54.56	49.45	73.64	42	o10y	
r50j	50.64	39.15	64.89	75.79	59	o40y	
r75j	64.01	21.26	82.83	85.52	76	o69y	
y00g	83.18	−4.38	108.53	108.62	92	o98y	
y25g	66.73	−29.89	83.06	88.28	110	y34l	
y50g	54.03	−48.31	63.49	79.78	127	y69l	
y75g	44.73	−60.33	42.64	73.88	145	l03c	
g00b	47.59	−49.08	15.74	51.54	162	l23c	
g25b	49.97	−39.7	−6.72	40.27	190	l55c	
g50b	51.85	−32.33	−24.35	40.48	217	l87c	
g75b	46.92	−17.29	−36.02	39.96	244	c20v	
b00r	37.91	1.28	−42.35	42.37	272	c53v	
b25r	23.81	30.38	−52.26	60.45	300	c87v	
b50r	29.52	69.06	−42.14	80.9	329	v68m	
b75r	36.48	71.47	−3.69	71.57	357	m34b	

Ein und Ausgabe: Farbmetrisches Drucker-Reflektiv-System FRS09_92a für relativen CIELAB-Buntton $h^* = lab^*h^* = h_{ab}/360 = 0.755$ $u^*_e = b00r$

Daten für jede Farbe:
*lab*tch** und *lab*icu**
Buntontexte:
$u^*_e = b00r$ $u^*_d = c53v$
Kontrastreduzierungsfaktor:
$c_R = 1.0$
Dreiecks-Helligkeit t^*

Daten für Maximalfarbe (Ma):
$LAB^*LAB^*_{Ma}$: 38 1 −42
$LAB^*LCH^*_{Ma}$: 38 42 271
$lab^*rgb^*_{Ma}$: 0.0 0.0 1.0
$lab^*olv^*_{Ma}$: 0.0 0.47 1.0
Dreiecks-Helligkeit t^*

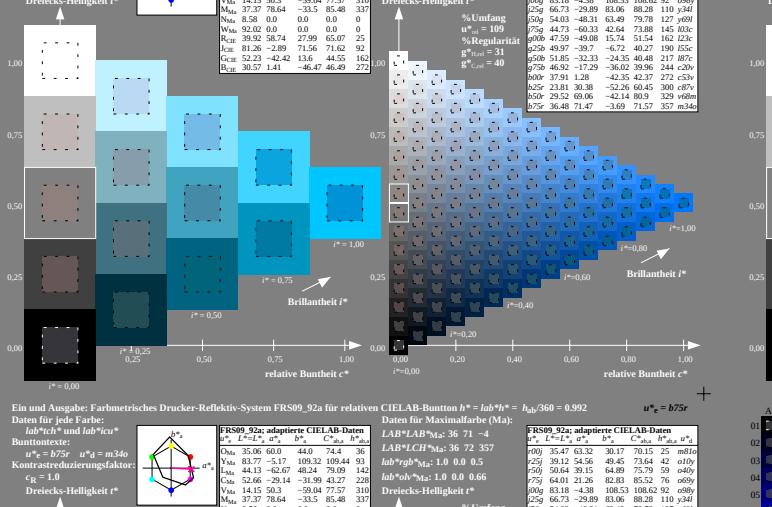

FRS09_92a; adaptierte CIELAB-Daten

	L^*	L^*_{ab}	a^*	b^*	$C^*_{ab,a}$	$h^*_{ab,a}$	u^*_d
O_{Ma}	35.06	60.0	44.0	74.4	36		
Y_{Ma}	83.77	−5.17	109.32	109.44	93		
L_{Ma}	44.13	−62.67	48.24	79.09	142		
C_{Ma}	52.66	−29.14	−31.99	43.27	228		
V_{Ma}	14.15	50.3	−59.84	77.57	310		
M_{Ma}	37.37	78.64	−33.5	85.48	337		
N_{Ma}	8.58	0.0	0.0	0.0	0		
W_{Ma}	92.02	0.0	0.0	0.0	0		
R_{CIE}	39.92	58.74	27.99	65.07	25		
J_{CIE}	81.26	−2.89	71.56	71.62	92		
G_{CIE}	52.23	−42.42	13.6	44.55	162		
B_{CIE}	30.57	1.41	−46.47	46.49	272		

FRS09_92a; adaptierte CIELAB-Daten

	L^*	L^*_{ab}	a^*	b^*	$C^*_{ab,a}$	$h^*_{ab,a}$	u^*_d
r00j	35.47	63.32	30.17	70.15	25	m81b	
r25j	39.12	54.56	49.45	73.64	42	o10y	
r50j	50.64	39.15	64.89	75.79	59	o40y	
r75j	64.01	21.26	82.83	85.52	76	o69y	
y00g	83.18	−4.38	108.53	108.62	92	o98y	
y25g	66.73	−29.89	83.06	88.28	110	y34l	
y50g	54.03	−48.31	63.49	79.78	127	y69l	
y75g	44.73	−60.33	42.64	73.88	145	l03c	
g00b	47.59	−49.08	15.74	51.54	162	l23c	
g25b	49.97	−39.7	−6.72	40.27	190	l55c	
g50b	51.85	−32.33	−24.35	40.48	217	l87c	
g75b	46.92	−17.29	−36.02	39.96	244	c20v	
b00r	37.91	1.28	−42.35	42.37	272	c53v	
b25r	23.81	30.38	−52.26	60.45	300	c87v	
b50r	29.52	69.06	−42.14	80.9	329	v68m	
b75r	36.48	71.47	−3.69	71.57	357	m34b	

Ein und Ausgabe: Farbmetrisches Drucker-Reflektiv-System FRS09_92a für relativen CIELAB-Buntton $h^* = lab^*h^* = h_{ab}/360 = 0.834$ $u^*_e = b25r$

Daten für jede Farbe:
*lab*tch** und *lab*icu**
Buntontexte:
$u^*_e = b25r$ $u^*_d = c87v$
Kontrastreduzierungsfaktor:
$c_R = 1.0$
Dreiecks-Helligkeit t^*

Daten für Maximalfarbe (Ma):
$LAB^*LAB^*_{Ma}$: 24 30 −52
$LAB^*LCH^*_{Ma}$: 24 60 300
$lab^*rgb^*_{Ma}$: 0.5 0.0 1.0
$lab^*olv^*_{Ma}$: 0.0 0.12 1.0
Dreiecks-Helligkeit t^*

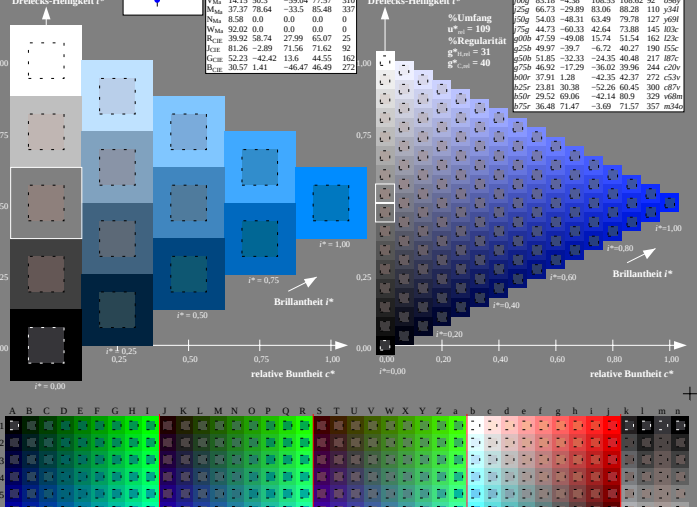

FRS09_92a; adaptierte CIELAB-Daten

	L^*	L^*_{ab}	a^*	b^*	$C^*_{ab,a}$	$h^*_{ab,a}$	u^*_d
O_{Ma}	35.06	60.0	44.0	74.4	36		
Y_{Ma}	83.77	−5.17	109.32	109.44	93		
L_{Ma}	44.13	−62.67	48.24	79.09	142		
C_{Ma}	52.66	−29.14	−31.99	43.27	228		
V_{Ma}	14.15	50.3	−59.84	77.57	310		
M_{Ma}	37.37	78.64	−33.5	85.48	337		
N_{Ma}	8.58	0.0	0.0	0.0	0		
W_{Ma}	92.02	0.0	0.0	0.0	0		
R_{CIE}	39.92	58.74	27.99	65.07	25		
J_{CIE}	81.26	−2.89	71.56	71.62	92		
G_{CIE}	52.23	−42.42	13.6	44.55	162		
B_{CIE}	30.57	1.41	−46.47	46.49	272		

FRS09_92a; adaptierte CIELAB-Daten

	L^*	L^*_{ab}	a^*	b^*	$C^*_{ab,a}$	$h^*_{ab,a}$	u^*_d
r00j	35.47	63.32	30.17	70.15	25	m81b	
r25j	39.12	54.56	49.45	73.64	42	o10y	
r50j	50.64	39.15	64.89	75.79	59	o40y	
r75j	64.01	21.26	82.83	85.52	76	o69y	
y00g	83.18	−4.38	108.53	108.62	92	o98y	
y25g	66.73	−29.89	83.06	88.28	110	y34l	
y50g	54.03	−48.31	63.49	79.78	127	y69l	
y75g	44.73	−60.33	42.64	73.88	145	l03c	
g00b	47.59	−49.08	15.74	51.54	162	l23c	
g25b	49.97	−39.7	−6.72	40.27	190	l55c	
g50b	51.85	−32.33	−24.35	40.48	217	l87c	
g75b	46.92	−17.29	−36.02	39.96	244	c20v	
b00r	37.91	1.28	−42.35	42.37	272	c53v	
b25r	23.81	30.38	−52.26	60.45	300	c87v	
b50r	29.52	69.06	−42.14	80.9	329	v68m	
b75r	36.48	71.47	−3.69	71.57	357	m34b	

Ein und Ausgabe: Farbmetrisches Drucker-Reflektiv-System FRS09_92a für relativen CIELAB-Buntton $h^* = lab^*h^* = h_{ab}/360 = 0.913$ $u^*_e = b50r$

Daten für jede Farbe:
*lab*tch** und *lab*icu**
Buntontexte:
$u^*_e = b50r$ $u^*_d = v68m$
Kontrastreduzierungsfaktor:
$c_R = 1.0$
Dreiecks-Helligkeit t^*

Daten für Maximalfarbe (Ma):
$LAB^*LAB^*_{Ma}$: 30 69 −42
$LAB^*LCH^*_{Ma}$: 30 81 328
$lab^*rgb^*_{Ma}$: 1.0 0.0 1.0
$lab^*olv^*_{Ma}$: 0.69 0.0 1.0
Dreiecks-Helligkeit t^*

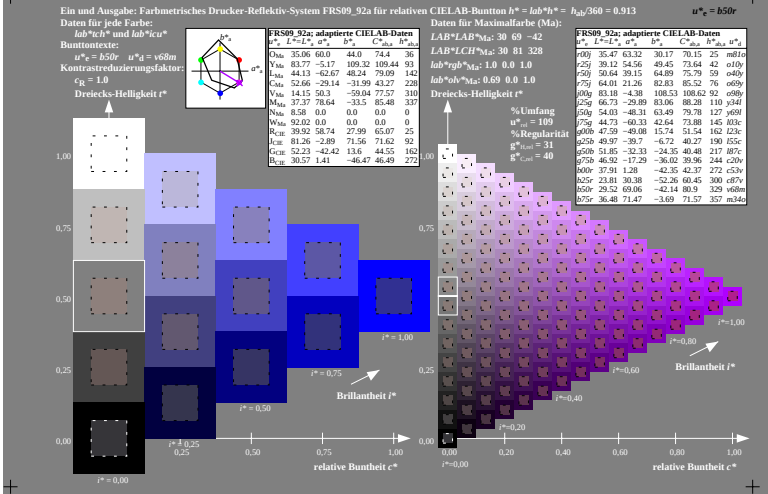

FRS09_92a; adaptierte CIELAB-Daten

	L^*	L^*_{ab}	a^*	b^*	$C^*_{ab,a}$	$h^*_{ab,a}$	u^*_d
O_{Ma}	35.06	60.0	44.0	74.4	36		
Y_{Ma}	83.77	−5.17	109.32	109.44	93		
L_{Ma}	44.13	−62.67	48.24	79.09	142		
C_{Ma}	52.66	−29.14	−31.99	43.27	228		
V_{Ma}	14.15	50.3	−59.84	77.57	310		
M_{Ma}	37.37	78.64	−33.5	85.48	337		
N_{Ma}	8.58	0.0	0.0	0.0	0		
W_{Ma}	92.02	0.0	0.0	0.0	0		
R_{CIE}	39.92	58.74	27.99	65.07	25		
J_{CIE}	81.26	−2.89	71.56	71.62	92		
G_{CIE}	52.23	−42.42	13.6	44.55	162		
B_{CIE}	30.57	1.41	−46.47	46.49	272		

FRS09_92a; adaptierte CIELAB-Daten

	L^*	L^*_{ab}	a^*	b^*	$C^*_{ab,a}$	$h^*_{ab,a}$	u^*_d
r00j	35.47	63.32	30.17	70.15	25	m81b	
r25j	39.12	54.56	49.45	73.64	42	o10y	
r50j	50.64	39.15	64.89	75.79	59	o40y	
r75j	64.01	21.26	82.83	85.52	76	o69y	
y00g	83.18	−4.38	108.53	108.62	92	o98y	
y25g	66.73	−29.89	83.06	88.28	110	y34l	
y50g	54.03	−48.31	63.49	79.78	127	y69l	
y75g	44.73	−60.33	42.64	73.88	145	l03c	
g00b	47.59	−49.08	15.74	51.54	162	l23c	
g25b	49.97	−39.7	−6.72	40.27	190	l55c	
g50b	51.85	−32.33	−24.35	40.48	217	l87c	
g75b	46.92	−17.29	−36.02	39.96	244	c20v	
b00r	37.91	1.28	−42.35	42.37	272	c53v	
b25r	23.81	30.38	−52.26	60.45	300	c87v	
b50r	29.52	69.06	−42.14	80.9	329	v68m	
b75r	36.48	71.47	−3.69	71.57	357	m34b	

Ein und Ausgabe: Farbmetrisches Drucker-Reflektiv-System FRS09_92a für relativen CIELAB-Buntton $h^* = lab^*h^* = h_{ab}/360 = 0.992$ $u^*_e = b75r$

Daten für jede Farbe:
*lab*tch** und *lab*icu**
Buntontexte:
$u^*_e = b75r$ $u^*_d = m34o$
Kontrastreduzierungsfaktor:
$c_R = 1.0$
Dreiecks-Helligkeit t^*

Daten für Maximalfarbe (Ma):
$LAB^*LAB^*_{Ma}$: 36 71 −4
$LAB^*LCH^*_{Ma}$: 36 72 357
$lab^*rgb^*_{Ma}$: 1.0 0.0 0.5
$lab^*olv^*_{Ma}$: 1.0 0.0 0.66
Dreiecks-Helligkeit t^*

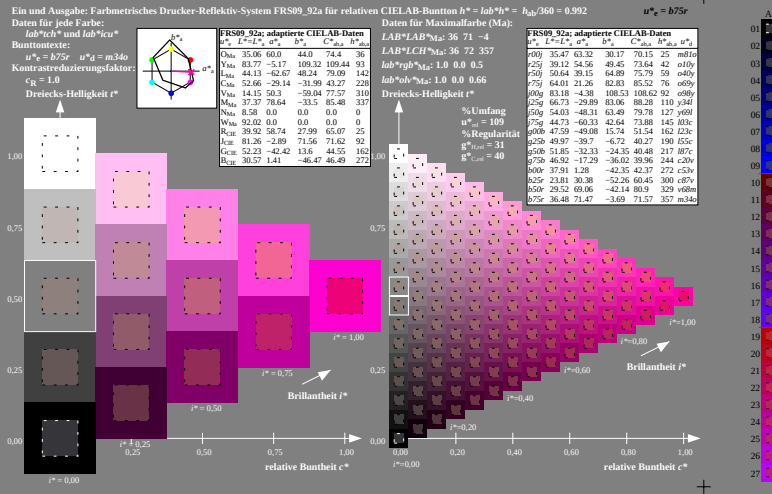

FRS09_92a; adaptierte CIELAB-Daten

	L^*	L^*_{ab}	a^*	b^*	$C^*_{ab,a}$	$h^*_{ab,a}$	u^*_d
O_{Ma}	35.06	60.0	44.0	74.4	36		
Y_{Ma}	83.77	−5.17	109.32	109.44	93		
L_{Ma}	44.13	−62.67	48.24	79.09	142		
C_{Ma}	52.66	−29.14	−31.99	43.27	228		
V_{Ma}	14.15	50.3	−59.84	77.57	310		
M_{Ma}	37.37	78.64	−33.5	85.48	337		
N_{Ma}	8.58	0.0	0.0	0.0	0		
W_{Ma}	92.02	0.0	0.0	0.0	0		
R_{CIE}	39.92	58.74	27.99	65.07	25		
J_{CIE}	81.26	−2.89	71.56	71.62	92		
G_{CIE}	52.23	−42.42	13.6	44.55	162		
B_{CIE}	30.57	1.41	−46.47	46.49	272		

FRS09_92a; adaptierte CIELAB-Daten

	L^*	L^*_{ab}	a^*	b^*	$C^*_{ab,a}$	$h^*_{ab,a}$	u^*_d
r00j	35.47	63.32	30.17	70.15	25	m81b	
r25j	39.12	54.56	49.45	73.64	42	o10y	
r50j	50.64	39.15	64.89	75.79	59	o40y	
r75j	64.01	21.26	82.83	85.52	76	o69y	
y00g	83.18	−4.38	108.53	108.62	92	o98y	
y25g	66.73	−29.89	83.06	88.28	110	y34l	
y50g	54.03	−48.31	63.49	79.78	127	y69l	
y75g	44.73	−60.33	42.64	73.88	145	l03c	
g00b	47.59	−49.08	15.74	51.54	162	l23c	
g25b	49.97	−39.7	−6.72	40.27	190	l55c	
g50b	51.85	−32.33	−24.35	40.48	217	l87c	
g75b	46.92	−17.29	−36.02	39.96	244	c20v	
b00r	37.91	1.28	−42.35	42.37	272	c53v	
b25r	23.81	30.38	−52.26	60.45	300	c87v	
b50r	29.52	69.06	−42.14	80.9	329	v68m	
b75r	36.48	71.47	−3.69	71.57	357	m34b	

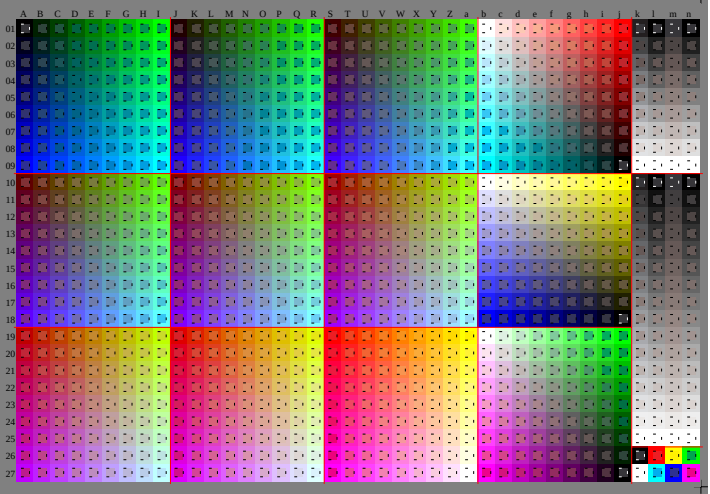

Ein und Ausgabe: Farbmetrisches Drucker-Reflektiv-System FRS09_92a für relativen CIELAB-Buntton $h^* = lab^*h^* = h_{ab}/360 = 0.451$ $u^*_e = g00b$

Daten für jede Farbe:
*lab*tch** und *lab*icu**
Benttontexte:
$u^*_e = g00b$ $u^*_d = l23c$
Kontrastreduzierungsfaktor:
$c_R = 1.0$

Daten für Maximalfarbe (Ma):
$LAB^*LAB^*_{Ma}$: 48 −49 16
$LAB^*LCH^*_{Ma}$: 48 52 162
$lab^*rgb^*_{Ma}$: 0.0 1.0 0.0
$lab^*olv^*_{Ma}$: 0.0 1.0 0.23

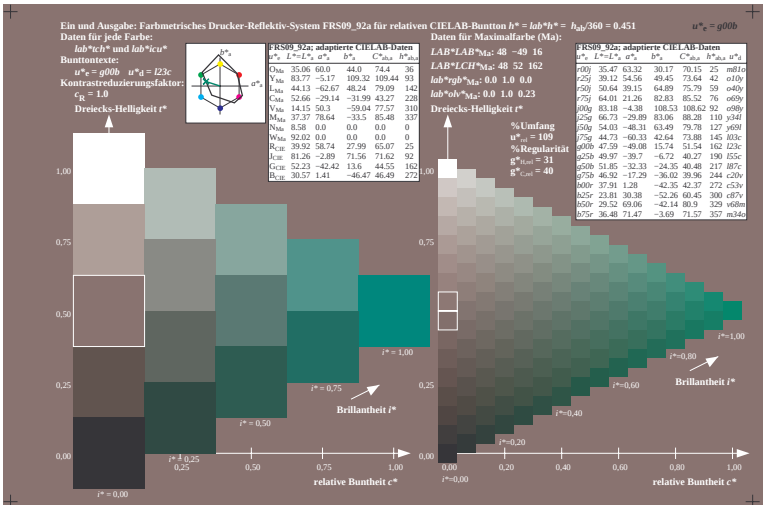

FRS09_92a; adaptierte CIELAB-Daten							
	$L^*=L^*_d$	a^*_d	b^*_d	$C^*_{ab,d}$	$h^*_{ab,d}$	u^*_d	
O_{Ma}	35.06	60.0	44.0	74.4	36		
Y_{Ma}	83.77	−5.17	109.32	109.44	93		
L_{Ma}	44.13	−62.67	48.24	79.09	142		
C_{Ma}	52.66	−29.14	−31.99	43.27	228		
V_{Ma}	14.15	50.3	−59.84	77.57	310		
M_{Ma}	37.37	78.64	−33.5	85.48	337		
N_{Ma}	8.58	0.0	0.0	0.0	0		
W_{Ma}	92.02	0.0	0.0	0.0	0		
R_{CIE}	39.92	58.74	27.99	65.07	25		
J_{CIE}	81.26	−2.89	71.56	71.62	92		
G_{CIE}	52.23	−42.42	13.6	44.55	162		
B_{CIE}	30.57	1.41	−46.47	46.49	272		
r00j	35.47	63.32	30.17	70.15	25	m81b	
r25j	39.12	54.56	49.45	73.64	42	o10y	
r50j	50.64	39.15	64.89	75.79	59	o40y	
r75j	64.01	21.26	82.83	85.52	76	o69y	
r00g	83.18	−4.38	108.53	108.62	92	o98y	
r25g	66.73	−29.89	83.06	88.28	110	y34f	
r50g	54.03	−48.31	63.49	79.78	127	y69f	
r75g	44.73	−60.33	42.64	73.88	145	t03c	
g00b	47.59	−49.08	15.74	51.54	162	t23c	
g25b	49.97	−39.7	−6.72	40.27	190	t55c	
g50b	51.85	−32.33	−24.35	40.48	217	t87c	
g75b	46.92	−17.29	−36.02	39.96	244	c20v	
b00r	37.91	1.28	−42.35	42.37	272	c53v	
b25r	23.81	30.38	−52.26	60.45	300	c87v	
b50r	29.52	69.06	−42.14	80.9	329	v68m	
b75r	36.48	71.47	−3.69	71.57	357	m34b	

Ein und Ausgabe: Farbmetrisches Drucker-Reflektiv-System FRS09_92a für relativen CIELAB-Buntton $h^* = lab^*h^* = h_{ab}/360 = 0.527$ $u^*_e = g25b$

Daten für jede Farbe:
*lab*tch** und *lab*icu**
Benttontexte:
$u^*_e = g25b$ $u^*_d = l55c$
Kontrastreduzierungsfaktor:
$c_R = 1.0$

Daten für Maximalfarbe (Ma):
$LAB^*LAB^*_{Ma}$: 50 −40 −7
$LAB^*LCH^*_{Ma}$: 50 40 189
$lab^*rgb^*_{Ma}$: 0.0 1.0 0.5
$lab^*olv^*_{Ma}$: 0.0 1.0 0.55

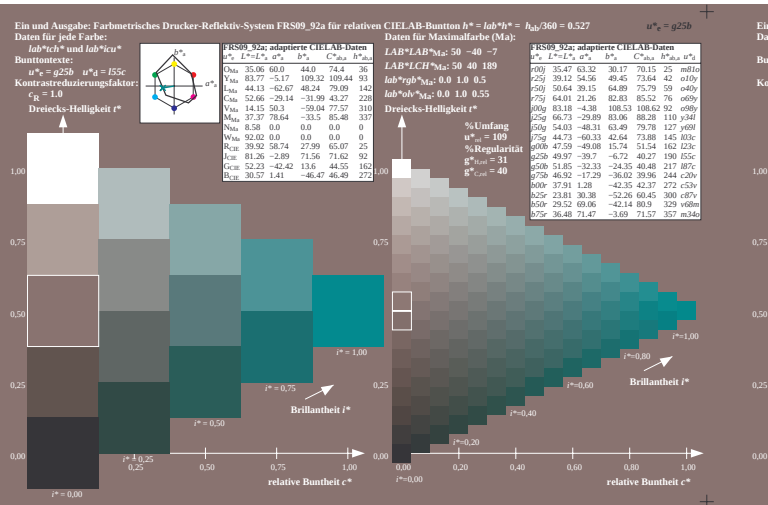

FRS09_92a; adaptierte CIELAB-Daten							
	$L^*=L^*_d$	a^*_d	b^*_d	$C^*_{ab,d}$	$h^*_{ab,d}$	u^*_d	
O_{Ma}	35.06	60.0	44.0	74.4	36		
Y_{Ma}	83.77	−5.17	109.32	109.44	93		
L_{Ma}	44.13	−62.67	48.24	79.09	142		
C_{Ma}	52.66	−29.14	−31.99	43.27	228		
V_{Ma}	14.15	50.3	−59.84	77.57	310		
M_{Ma}	37.37	78.64	−33.5	85.48	337		
N_{Ma}	8.58	0.0	0.0	0.0	0		
W_{Ma}	92.02	0.0	0.0	0.0	0		
R_{CIE}	39.92	58.74	27.99	65.07	25		
J_{CIE}	81.26	−2.89	71.56	71.62	92		
G_{CIE}	52.23	−42.42	13.6	44.55	162		
B_{CIE}	30.57	1.41	−46.47	46.49	272		
r00j	35.47	63.32	30.17	70.15	25	m81b	
r25j	39.12	54.56	49.45	73.64	42	o10y	
r50j	50.64	39.15	64.89	75.79	59	o40y	
r75j	64.01	21.26	82.83	85.52	76	o69y	
r00g	83.18	−4.38	108.53	108.62	92	o98y	
r25g	66.73	−29.89	83.06	88.28	110	y34f	
r50g	54.03	−48.31	63.49	79.78	127	y69f	
r75g	44.73	−60.33	42.64	73.88	145	t03c	
g00b	47.59	−49.08	15.74	51.54	162	t23c	
g25b	49.97	−39.7	−6.72	40.27	190	t55c	
g50b	51.85	−32.33	−24.35	40.48	217	t87c	
g75b	46.92	−17.29	−36.02	39.96	244	c20v	
b00r	37.91	1.28	−42.35	42.37	272	c53v	
b25r	23.81	30.38	−52.26	60.45	300	c87v	
b50r	29.52	69.06	−42.14	80.9	329	v68m	
b75r	36.48	71.47	−3.69	71.57	357	m34b	

Ein und Ausgabe: Farbmetrisches Drucker-Reflektiv-System FRS09_92a für relativen CIELAB-Buntton $h^* = lab^*h^* = h_{ab}/360 = 0.603$ $u^*_e = g50b$

Daten für jede Farbe:
*lab*tch** und *lab*icu**
Benttontexte:
$u^*_e = g50b$ $u^*_d = l87c$
Kontrastreduzierungsfaktor:
$c_R = 1.0$

Daten für Maximalfarbe (Ma):
$LAB^*LAB^*_{Ma}$: 52 −32 −24
$LAB^*LCH^*_{Ma}$: 52 40 216
$lab^*rgb^*_{Ma}$: 0.0 1.0 1.0
$lab^*olv^*_{Ma}$: 0.0 1.0 0.87

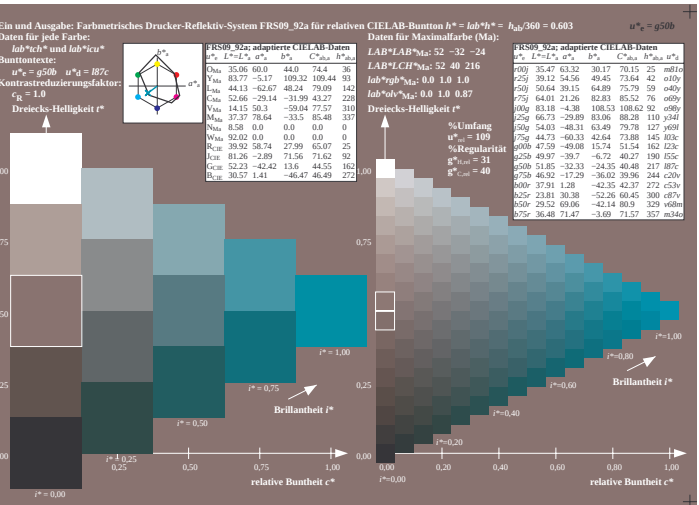

FRS09_92a; adaptierte CIELAB-Daten							
	$L^*=L^*_d$	a^*_d	b^*_d	$C^*_{ab,d}$	$h^*_{ab,d}$	u^*_d	
O_{Ma}	35.06	60.0	44.0	74.4	36		
Y_{Ma}	83.77	−5.17	109.32	109.44	93		
L_{Ma}	44.13	−62.67	48.24	79.09	142		
C_{Ma}	52.66	−29.14	−31.99	43.27	228		
V_{Ma}	14.15	50.3	−59.84	77.57	310		
M_{Ma}	37.37	78.64	−33.5	85.48	337		
N_{Ma}	8.58	0.0	0.0	0.0	0		
W_{Ma}	92.02	0.0	0.0	0.0	0		
R_{CIE}	39.92	58.74	27.99	65.07	25		
J_{CIE}	81.26	−2.89	71.56	71.62	92		
G_{CIE}	52.23	−42.42	13.6	44.55	162		
B_{CIE}	30.57	1.41	−46.47	46.49	272		
r00j	35.47	63.32	30.17	70.15	25	m81b	
r25j	39.12	54.56	49.45	73.64	42	o10y	
r50j	50.64	39.15	64.89	75.79	59	o40y	
r75j	64.01	21.26	82.83	85.52	76	o69y	
r00g	83.18	−4.38	108.53	108.62	92	o98y	
r25g	66.73	−29.89	83.06	88.28	110	y34f	
r50g	54.03	−48.31	63.49	79.78	127	y69f	
r75g	44.73	−60.33	42.64	73.88	145	t03c	
g00b	47.59	−49.08	15.74	51.54	162	t23c	
g25b	49.97	−39.7	−6.72	40.27	190	t55c	
g50b	51.85	−32.33	−24.35	40.48	217	t87c	
g75b	46.92	−17.29	−36.02	39.96	244	c20v	
b00r	37.91	1.28	−42.35	42.37	272	c53v	
b25r	23.81	30.38	−52.26	60.45	300	c87v	
b50r	29.52	69.06	−42.14	80.9	329	v68m	
b75r	36.48	71.47	−3.69	71.57	357	m34b	

Ein und Ausgabe: Farbmetrisches Drucker-Reflektiv-System FRS09_92a für relativen CIELAB-Buntton $h^* = lab^*h^* = h_{ab}/360 = 0.679$ $u^*_e = g75b$

Daten für jede Farbe:
*lab*tch** und *lab*icu**
Benttontexte:
$u^*_e = g75b$ $u^*_d = c20v$
Kontrastreduzierungsfaktor:
$c_R = 1.0$

Daten für Maximalfarbe (Ma):
$LAB^*LAB^*_{Ma}$: 47 −17 −36
$LAB^*LCH^*_{Ma}$: 47 40 244
$lab^*rgb^*_{Ma}$: 0.0 0.5 1.0
$lab^*olv^*_{Ma}$: 0.0 0.8 1.0

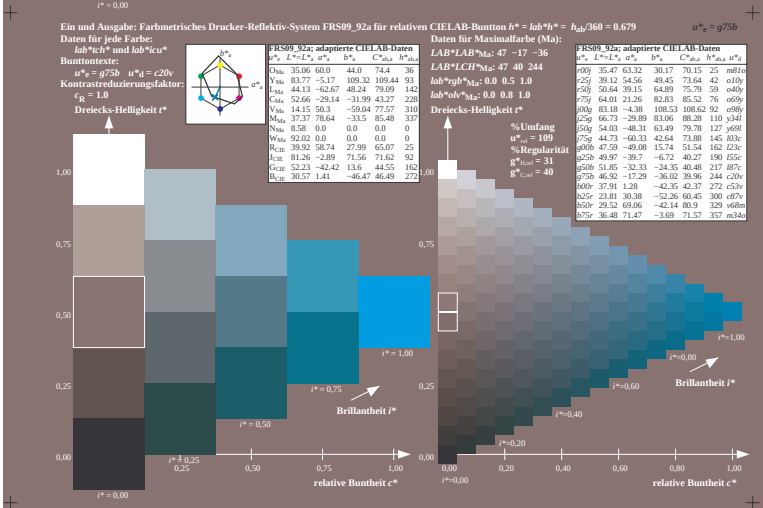

FRS09_92a; adaptierte CIELAB-Daten							
	$L^*=L^*_d$	a^*_d	b^*_d	$C^*_{ab,d}$	$h^*_{ab,d}$	u^*_d	
O_{Ma}	35.06	60.0	44.0	74.4	36		
Y_{Ma}	83.77	−5.17	109.32	109.44	93		
L_{Ma}	44.13	−62.67	48.24	79.09	142		
C_{Ma}	52.66	−29.14	−31.99	43.27	228		
V_{Ma}	14.15	50.3	−59.84	77.57	310		
M_{Ma}	37.37	78.64	−33.5	85.48	337		
N_{Ma}	8.58	0.0	0.0	0.0	0		
W_{Ma}	92.02	0.0	0.0	0.0	0		
R_{CIE}	39.92	58.74	27.99	65.07	25		
J_{CIE}	81.26	−2.89	71.56	71.62	92		
G_{CIE}	52.23	−42.42	13.6	44.55	162		
B_{CIE}	30.57	1.41	−46.47	46.49	272		
r00j	35.47	63.32	30.17	70.15	25	m81b	
r25j	39.12	54.56	49.45	73.64	42	o10y	
r50j	50.64	39.15	64.89	75.79	59	o40y	
r75j	64.01	21.26	82.83	85.52	76	o69y	
r00g	83.18	−4.38	108.53	108.62	92	o98y	
r25g	66.73	−29.89	83.06	88.28	110	y34f	
r50g	54.03	−48.31	63.49	79.78	127	y69f	
r75g	44.73	−60.33	42.64	73.88	145	t03c	
g00b	47.59	−49.08	15.74	51.54	162	t23c	
g25b	49.97	−39.7	−6.72	40.27	190	t55c	
g50b	51.85	−32.33	−24.35	40.48	217	t87c	
g75b	46.92	−17.29	−36.02	39.96	244	c20v	
b00r	37.91	1.28	−42.35	42.37	272	c53v	
b25r	23.81	30.38	−52.26	60.45	300	c87v	
b50r	29.52	69.06	−42.14	80.9	329	v68m	
b75r	36.48	71.47	−3.69	71.57	357	m34b	

Ein und Ausgabe: Farbmetrisches Drucker-Reflektiv-System FRS09_92a für relativen CIELAB-Buntton $h^* = lab^*h^* = h_{ab}/360 = 0.755$ $u^*_e = b00r$

Daten für jede Farbe:
*lab*tch** und *lab*icu**
Benttontexte:
$u^*_e = b00r$ $u^*_d = c53v$
Kontrastreduzierungsfaktor:
$c_R = 1.0$

Daten für Maximalfarbe (Ma):
$LAB^*LAB^*_{Ma}$: 38 1 −42
$LAB^*LCH^*_{Ma}$: 38 42 271
$lab^*rgb^*_{Ma}$: 0.0 0.0 1.0
$lab^*olv^*_{Ma}$: 0.0 0.47 1.0

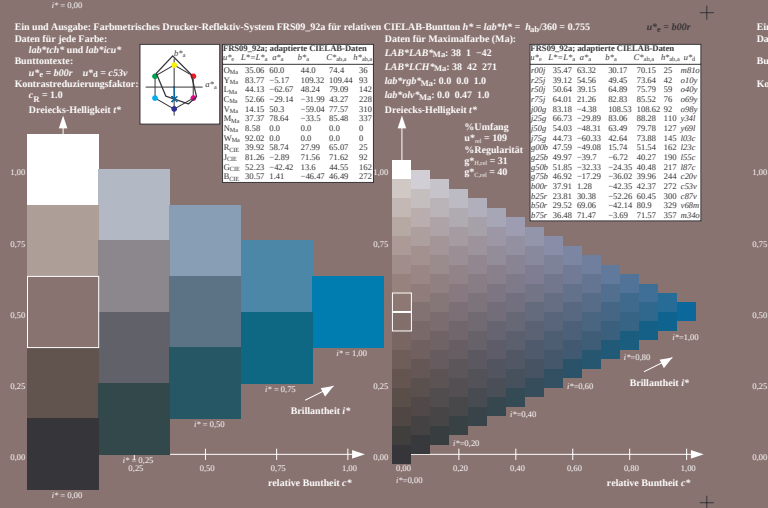

FRS09_92a; adaptierte CIELAB-Daten							
	$L^*=L^*_d$	a^*_d	b^*_d	$C^*_{ab,d}$	$h^*_{ab,d}$	u^*_d	
O_{Ma}	35.06	60.0	44.0	74.4	36		
Y_{Ma}	83.77	−5.17	109.32	109.44	93		
L_{Ma}	44.13	−62.67	48.24	79.09	142		
C_{Ma}	52.66	−29.14	−31.99	43.27	228		
V_{Ma}	14.15	50.3	−59.84	77.57	310		
M_{Ma}	37.37	78.64	−33.5	85.48	337		
N_{Ma}	8.58	0.0	0.0	0.0	0		
W_{Ma}	92.02	0.0	0.0	0.0	0		
R_{CIE}	39.92	58.74	27.99	65.07	25		
J_{CIE}	81.26	−2.89	71.56	71.62	92		
G_{CIE}	52.23	−42.42	13.6	44.55	162		
B_{CIE}	30.57	1.41	−46.47	46.49	272		
r00j	35.47	63.32	30.17	70.15	25	m81b	
r25j	39.12	54.56	49.45	73.64	42	o10y	
r50j	50.64	39.15	64.89	75.79	59	o40y	
r75j	64.01	21.26	82.83	85.52	76	o69y	
r00g	83.18	−4.38	108.53	108.62	92	o98y	
r25g	66.73	−29.89	83.06	88.28	110	y34f	
r50g	54.03	−48.31	63.49	79.78	127	y69f	
r75g	44.73	−60.33	42.64	73.88	145	t03c	
g00b	47.59	−49.08	15.74	51.54	162	t23c	
g25b	49.97	−39.7	−6.72	40.27	190	t55c	
g50b	51.85	−32.33	−24.35	40.48	217	t87c	
g75b	46.92	−17.29	−36.02	39.96	244	c20v	
b00r	37.91	1.28	−42.35	42.37	272	c53v	
b25r	23.81	30.38	−52.26	60.45	300	c87v	
b50r	29.52	69.06	−42.14	80.9	329	v68m	
b75r	36.48	71.47	−3.69	71.57	357	m34b	

Ein und Ausgabe: Farbmetrisches Drucker-Reflektiv-System FRS09_92a für relativen CIELAB-Buntton $h^* = lab^*h^* = h_{ab}/360 = 0.834$ $u^*_e = b25r$

Daten für jede Farbe:
*lab*tch** und *lab*icu**
Benttontexte:
$u^*_e = b25r$ $u^*_d = c87v$
Kontrastreduzierungsfaktor:
$c_R = 1.0$

Daten für Maximalfarbe (Ma):
$LAB^*LAB^*_{Ma}$: 24 30 −52
$LAB^*LCH^*_{Ma}$: 24 60 300
$lab^*rgb^*_{Ma}$: 0.5 0.0 1.0
$lab^*olv^*_{Ma}$: 0.0 0.12 1.0

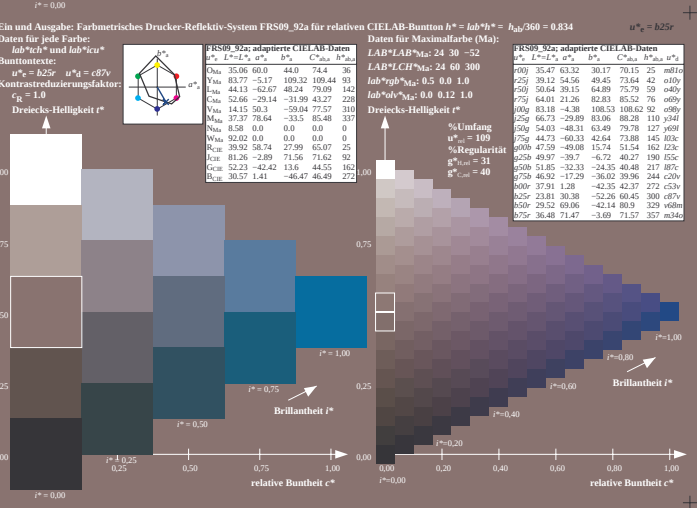

FRS09_92a; adaptierte CIELAB-Daten							
	$L^*=L^*_d$	a^*_d	b^*_d	$C^*_{ab,d}$	$h^*_{ab,d}$	u^*_d	
O_{Ma}	35.06	60.0	44.0	74.4	36		
Y_{Ma}	83.77	−5.17	109.32	109.44	93		
L_{Ma}	44.13	−62.67	48.24	79.09	142		
C_{Ma}	52.66	−29.14	−31.99	43.27	228		
V_{Ma}	14.15	50.3	−59.84	77.57	310		
M_{Ma}	37.37	78.64	−33.5	85.48	337		
N_{Ma}	8.58	0.0	0.0	0.0	0		
W_{Ma}	92.02	0.0	0.0	0.0	0		
R_{CIE}	39.92	58.74	27.99	65.07	25		
J_{CIE}	81.26	−2.89	71.56	71.62	92		
G_{CIE}	52.23	−42.42	13.6	44.55	162		
B_{CIE}	30.57	1.41	−46.47	46.49	272		
r00j	35.47	63.32	30.17	70.15	25	m81b	
r25j	39.12	54.56	49.45	73.64	42	o10y	
r50j	50.64	39.15	64.89	75.79	59	o40y	
r75j	64.01	21.26	82.83	85.52	76	o69y	
r00g	83.18	−4.38	108.53	108.62	92	o98y	
r25g	66.73	−29.89	83.06	88.28	110	y34f	
r50g	54.03	−48.31	63.49	79.78	127	y69f	
r75g	44.73	−60.33	42.64	73.88	145	t03c	
g00b	47.59	−49.08	15.74	51.54	162	t23c	
g25b	49.97	−39.7	−6.72	40.27	190	t55c	
g50b	51.85	−32.33	−24.35	40.48	217	t87c	
g75b	46.92	−17.29	−36.02	39.96	244	c20v	
b00r	37.91	1.28	−42.35	42.37	272	c53v	
b25r	23.81	30.38	−52.26	60.45	300	c87v	
b50r	29.52	69.06	−42.14	80.9	329	v68m	
b75r	36.48	71.47	−3.69	71.57	357	m34b	

Ein und Ausgabe: Farbmetrisches Drucker-Reflektiv-System FRS09_92a für relativen CIELAB-Buntton $h^* = lab^*h^* = h_{ab}/360 = 0.913$ $u^*_e = b50r$

Daten für jede Farbe:
*lab*tch** und *lab*icu**
Benttontexte:
$u^*_e = b50r$ $u^*_d = v68m$
Kontrastreduzierungsfaktor:
$c_R = 1.0$

Daten für Maximalfarbe (Ma):
$LAB^*LAB^*_{Ma}$: 30 69 −42
$LAB^*LCH^*_{Ma}$: 30 81 328
$lab^*rgb^*_{Ma}$: 1.0 0.0 1.0
$lab^*olv^*_{Ma}$: 0.69 0.0 1.0

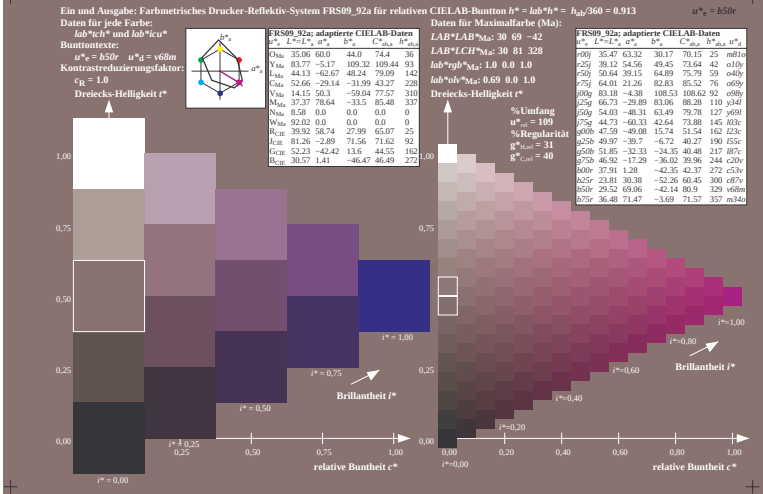

FRS09_92a; adaptierte CIELAB-Daten							
	$L^*=L^*_d$	a^*_d	b^*_d	$C^*_{ab,d}$	$h^*_{ab,d}$	u^*_d	
O_{Ma}	35.06	60.0	44.0	74.4	36		
Y_{Ma}	83.77	−5.17	109.32	109.44	93		
L_{Ma}	44.13	−62.67	48.24	79.09	142		
C_{Ma}	52.66	−29.14	−31.99	43.27	228		
V_{Ma}	14.15	50.3	−59.84	77.57	310		
M_{Ma}	37.37	78.64	−33.5	85.48	337		
N_{Ma}	8.58	0.0	0.0	0.0	0		
W_{Ma}	92.02	0.0	0.0	0.0	0		
R_{CIE}	39.92	58.74	27.99	65.07	25		
J_{CIE}	81.26	−2.89	71.56	71.62	92		
G_{CIE}	52.23	−42.42	13.6	44.55	162		
B_{CIE}	30.57	1.41	−46.47	46.49	272		
r00j	35.47	63.32	30.17	70.15	25	m81b	
r25j	39.12	54.56	49.45	73.64	42	o10y	
r50j	50.64	39.15	64.89	75.79	59	o40y	
r75j	64.01	21.26	82.83	85.52	76	o69y	
r00g	83.18	−4.38	108.53	108.62	92	o98y	
r25g	66.73	−29.89	83.06	88.28	110	y34f	
r50g	54.03	−48.31	63.49	79.78	127	y69f	
r75g	44.73	−60.33	42.64	73.88	145	t03c	
g00b	47.59	−49.08	15.74	51.54	162	t23c	
g25b	49.97	−39.7	−6.72	40.27	190	t55c	
g50b	51.85	−32.33	−24.35	40.48	217	t87c	
g75b	46.92	−17.29	−36.02	39.96	244	c20v	
b00r	37.91	1.28	−42.35	42.37	272	c53v	
b25r	23.81	30.38	−52.26	60.45	300	c87v	
b50r	29.52	69.06	−42.14	80.9	329	v68m	
b75r	36.48	71.47	−3.69	71.57	357	m34b	

Ein und Ausgabe: Farbmetrisches Drucker-Reflektiv-System FRS09_92a für relativen CIELAB-Buntton $h^* = lab^*h^* = h_{ab}/360 = 0.992$ $u^*_e = b75r$

Daten für jede Farbe:
*lab*tch** und *lab*icu**
Benttontexte:
$u^*_e = b75r$ $u^*_d = m34o$
Kontrastreduzierungsfaktor:
$c_R = 1.0$

Daten für Maximalfarbe (Ma):
$LAB^*LAB^*_{Ma}$: 36 71 −4
$LAB^*LCH^*_{Ma}$: 36 72 357
$lab^*rgb^*_{Ma}$: 1.0 0.0 0.5
$lab^*olv^*_{Ma}$: 1.0 0.0 0.66

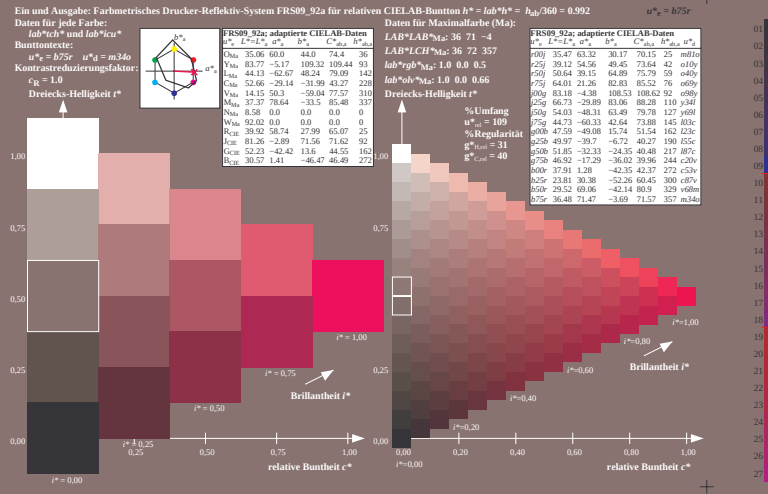

FRS09_92a; adaptierte CIELAB-Daten							
	$L^*=L^*_d$	a^*_d	b^*_d	$C^*_{ab,d}$	$h^*_{ab,d}$	u^*_d	
O_{Ma}	35.06	60.0	44.0	74.4	36		
Y_{Ma}	83.77	−5.17	109.32	109.44	93		
L_{Ma}	44.13	−62.67	48.24	79.09	142		
C_{Ma}	52.66	−29.14	−31.99	43.27	228		
V_{Ma}	14.15	50.3	−59.84	77.57	310		
M_{Ma}	37.37	78.64	−33.5	85.48	337		
N_{Ma}	8.58	0.0	0.0	0.0	0		
W_{Ma}	92.02	0.0	0.0	0.0	0		
R_{CIE}	39.92	58.74	27.99	65.07	25		
J_{CIE}	81.26	−2.89	71.56	71.62	92		
G_{CIE}	52.23	−42.42	13.6	44.55	162		
B_{CIE}	30.57	1.41	−46.47	46.49	272		
r00j	35.47	63.32	30.17	70.15	25	m81b	
r25j	39.12	54.56	49.45	73.64	42	o10y	
r50j	50.64	39.15	64.89	75.79	59	o40y	
r75j	64.01	21.26	82.83	85.52	76	o69y	
r00g	83.18	−4.38	108.53	108.62	92	o98y	
r25g	66.73	−29.89	83.06	88.28	110	y34f	
r50g	54.03	−48.31	63.49	79.78	127	y69f	
r75g	44.73	−60.33	42.64	73.88	145	t03c	
g00b	47.59	−49.08	15.74	51.54	162	t23c	
g25b	49.97	−39.7	−6.72	40.27	190	t55c	
g50b	51.85	−32.33	−24.35	40.48	217	t87c	
g75b	46.92	−17.29	−36.02	39.96	244	c20v	
b00r	37.91	1.28	−42.35	42.37	272	c53v	
b25r	23.81	30.38	−52.26	60.45	300	c87v	
b50r	29.52	69.06	−42.14	80.9	329	v68m	
b75r	36.48	71.47	−3.69	71.57	357	m34b	

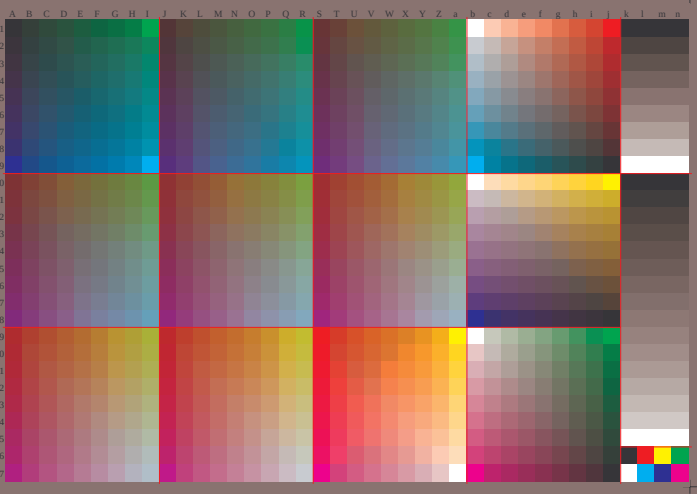

Ein und Ausgabe: Farbmetrisches Drucker-Reflektiv-System FRS09_92a für relativen CIELAB-Buntton $h^* = lab^*h^* = h_{ab}/360 = 0.451$ $u^*_e = g00b$

Daten für jede Farbe:
*lab*tch** und *lab*icu**
Benttontexte:
$u^*_e = g00b$ $u^*_d = l23c$
Kontrastreduzierungsfaktor:
$c_R = 1.0$

Daten für Maximalfarbe (Ma):
*LAB*LAB*$^*_{Ma}$: 48 −49 16
*LAB*LCH*$^*_{Ma}$: 48 52 162
*lab*rgb*$^*_{Ma}$: 0.0 1.0 0.0
*lab*olv*$^*_{Ma}$: 0.0 1.0 0.23

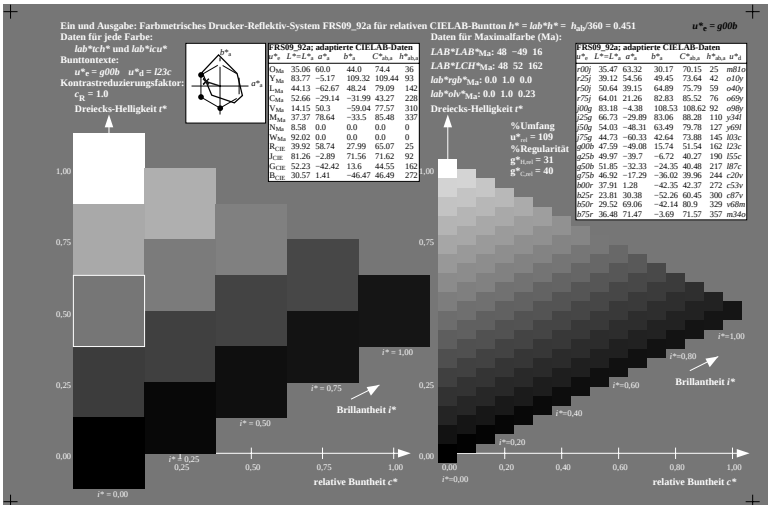

FRS09_92a; adaptierte CIELAB-Daten

	$L^*=L^*_a$	a^*_a	b^*_a	$C^*_{ab,a}$	$h^*_{ab,a}$	u^*_a
O_{Ma}	35.06	60.0	44.0	74.4	36	
Y_{Ma}	83.77	−5.17	109.32	109.44	93	
L_{Ma}	44.13	−62.67	48.24	79.09	142	
C_{Ma}	52.66	−29.14	−31.99	43.27	228	
V_{Ma}	14.15	50.3	−59.84	77.57	310	
M_{Ma}	37.37	78.64	−33.5	85.48	337	
N_{Ma}	8.58	0.0	0.0	0.0	0	
W_{Ma}	92.02	0.0	0.0	0.0	0	
R_{CIE}	39.92	58.74	27.99	65.07	25	
J_{CIE}	81.26	−2.89	71.56	71.62	92	
G_{CIE}	52.23	−42.42	13.6	44.55	162	
B_{CIE}	30.57	1.41	−46.47	46.49	272	

r00j	35.47	63.32	30.17	70.15	25	m81o
r25j	39.12	54.56	49.45	73.64	42	o10y
r50j	50.64	39.15	64.89	75.79	59	o40y
r75j	64.01	21.26	82.83	85.52	76	o69y
r00g	83.18	−4.38	108.53	108.62	92	o98y
r25g	66.73	−29.89	83.06	88.28	110	y34l
r50g	54.03	−48.31	63.49	79.78	127	y69l
r75g	44.73	−60.33	42.64	73.88	145	l03c
g00b	47.59	−49.08	15.74	51.54	162	l23c
g25b	49.97	−39.7	−6.72	40.27	190	l55c
g50b	51.85	−32.33	−24.35	40.48	217	l87c
g75b	46.92	−17.29	−36.02	39.96	244	c20v
b00r	37.91	1.28	−42.35	42.37	272	c53v
b25r	23.81	30.38	−52.26	60.45	300	c87v
b50r	29.52	69.06	−42.14	80.9	329	v68m
b75r	36.48	71.47	−3.69	71.57	357	m34o

Ein und Ausgabe: Farbmetrisches Drucker-Reflektiv-System FRS09_92a für relativen CIELAB-Buntton $h^* = lab^*h^* = h_{ab}/360 = 0.527$ $u^*_e = g25b$

Daten für jede Farbe:
*lab*tch** und *lab*icu**
Benttontexte:
$u^*_e = g25b$ $u^*_d = l55c$
Kontrastreduzierungsfaktor:
$c_R = 1.0$

Daten für Maximalfarbe (Ma):
*LAB*LAB*$^*_{Ma}$: 50 −40 −7
*LAB*LCH*$^*_{Ma}$: 50 40 189
*lab*rgb*$^*_{Ma}$: 0.0 1.0 0.5
*lab*olv*$^*_{Ma}$: 0.0 1.0 0.55

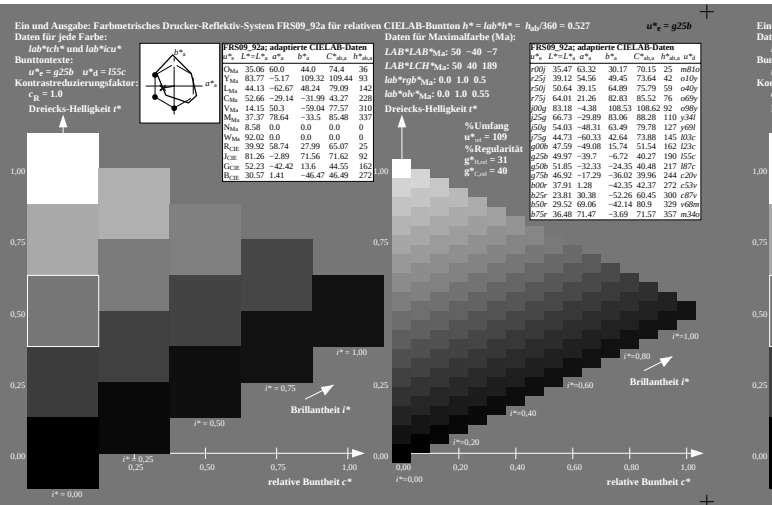

FRS09_92a; adaptierte CIELAB-Daten

	$L^*=L^*_a$	a^*_a	b^*_a	$C^*_{ab,a}$	$h^*_{ab,a}$	u^*_a
O_{Ma}	35.06	60.0	44.0	74.4	36	
Y_{Ma}	83.77	−5.17	109.32	109.44	93	
L_{Ma}	44.13	−62.67	48.24	79.09	142	
C_{Ma}	52.66	−29.14	−31.99	43.27	228	
V_{Ma}	14.15	50.3	−59.84	77.57	310	
M_{Ma}	37.37	78.64	−33.5	85.48	337	
N_{Ma}	8.58	0.0	0.0	0.0	0	
W_{Ma}	92.02	0.0	0.0	0.0	0	
R_{CIE}	39.92	58.74	27.99	65.07	25	
J_{CIE}	81.26	−2.89	71.56	71.62	92	
G_{CIE}	52.23	−42.42	13.6	44.55	162	
B_{CIE}	30.57	1.41	−46.47	46.49	272	

r00j	35.47	63.32	30.17	70.15	25	m81o
r25j	39.12	54.56	49.45	73.64	42	o10y
r50j	50.64	39.15	64.89	75.79	59	o40y
r75j	64.01	21.26	82.83	85.52	76	o69y
r00g	83.18	−4.38	108.53	108.62	92	o98y
r25g	66.73	−29.89	83.06	88.28	110	y34l
r50g	54.03	−48.31	63.49	79.78	127	y69l
r75g	44.73	−60.33	42.64	73.88	145	l03c
g00b	47.59	−49.08	15.74	51.54	162	l23c
g25b	49.97	−39.7	−6.72	40.27	190	l55c
g50b	51.85	−32.33	−24.35	40.48	217	l87c
g75b	46.92	−17.29	−36.02	39.96	244	c20v
b00r	37.91	1.28	−42.35	42.37	272	c53v
b25r	23.81	30.38	−52.26	60.45	300	c87v
b50r	29.52	69.06	−42.14	80.9	329	v68m
b75r	36.48	71.47	−3.69	71.57	357	m34o

Ein und Ausgabe: Farbmetrisches Drucker-Reflektiv-System FRS09_92a für relativen CIELAB-Buntton $h^* = lab^*h^* = h_{ab}/360 = 0.603$ $u^*_e = g50b$

Daten für jede Farbe:
*lab*tch** und *lab*icu**
Benttontexte:
$u^*_e = g50b$ $u^*_d = l87c$
Kontrastreduzierungsfaktor:
$c_R = 1.0$

Daten für Maximalfarbe (Ma):
*LAB*LAB*$^*_{Ma}$: 52 −32 −24
*LAB*LCH*$^*_{Ma}$: 52 40 216
*lab*rgb*$^*_{Ma}$: 0.0 1.0 1.0
*lab*olv*$^*_{Ma}$: 0.0 1.0 0.87

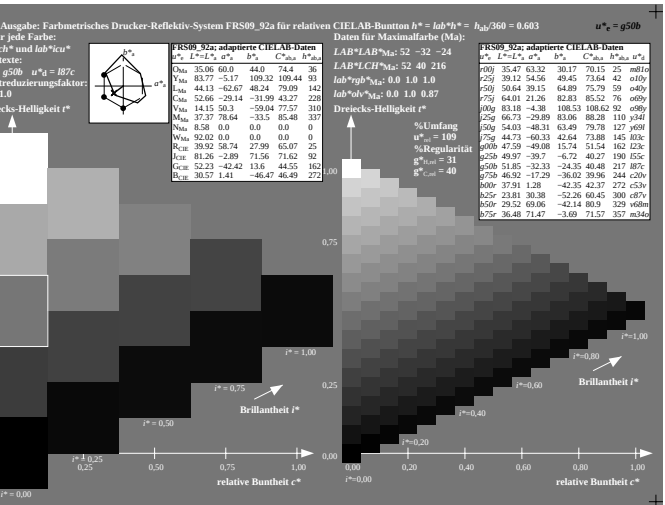

FRS09_92a; adaptierte CIELAB-Daten

	$L^*=L^*_a$	a^*_a	b^*_a	$C^*_{ab,a}$	$h^*_{ab,a}$	u^*_a
O_{Ma}	35.06	60.0	44.0	74.4	36	
Y_{Ma}	83.77	−5.17	109.32	109.44	93	
L_{Ma}	44.13	−62.67	48.24	79.09	142	
C_{Ma}	52.66	−29.14	−31.99	43.27	228	
V_{Ma}	14.15	50.3	−59.84	77.57	310	
M_{Ma}	37.37	78.64	−33.5	85.48	337	
N_{Ma}	8.58	0.0	0.0	0.0	0	
W_{Ma}	92.02	0.0	0.0	0.0	0	
R_{CIE}	39.92	58.74	27.99	65.07	25	
J_{CIE}	81.26	−2.89	71.56	71.62	92	
G_{CIE}	52.23	−42.42	13.6	44.55	162	
B_{CIE}	30.57	1.41	−46.47	46.49	272	

r00j	35.47	63.32	30.17	70.15	25	m81o
r25j	39.12	54.56	49.45	73.64	42	o10y
r50j	50.64	39.15	64.89	75.79	59	o40y
r75j	64.01	21.26	82.83	85.52	76	o69y
r00g	83.18	−4.38	108.53	108.62	92	o98y
r25g	66.73	−29.89	83.06	88.28	110	y34l
r50g	54.03	−48.31	63.49	79.78	127	y69l
r75g	44.73	−60.33	42.64	73.88	145	l03c
g00b	47.59	−49.08	15.74	51.54	162	l23c
g25b	49.97	−39.7	−6.72	40.27	190	l55c
g50b	51.85	−32.33	−24.35	40.48	217	l87c
g75b	46.92	−17.29	−36.02	39.96	244	c20v
b00r	37.91	1.28	−42.35	42.37	272	c53v
b25r	23.81	30.38	−52.26	60.45	300	c87v
b50r	29.52	69.06	−42.14	80.9	329	v68m
b75r	36.48	71.47	−3.69	71.57	357	m34o

Ein und Ausgabe: Farbmetrisches Drucker-Reflektiv-System FRS09_92a für relativen CIELAB-Buntton $h^* = lab^*h^* = h_{ab}/360 = 0.679$ $u^*_e = g75b$

Daten für jede Farbe:
*lab*tch** und *lab*icu**
Benttontexte:
$u^*_e = g75b$ $u^*_d = c20v$
Kontrastreduzierungsfaktor:
$c_R = 1.0$

Daten für Maximalfarbe (Ma):
*LAB*LAB*$^*_{Ma}$: 47 −17 −36
*LAB*LCH*$^*_{Ma}$: 47 40 244
*lab*rgb*$^*_{Ma}$: 0.0 0.5 1.0
*lab*olv*$^*_{Ma}$: 0.0 0.8 1.0

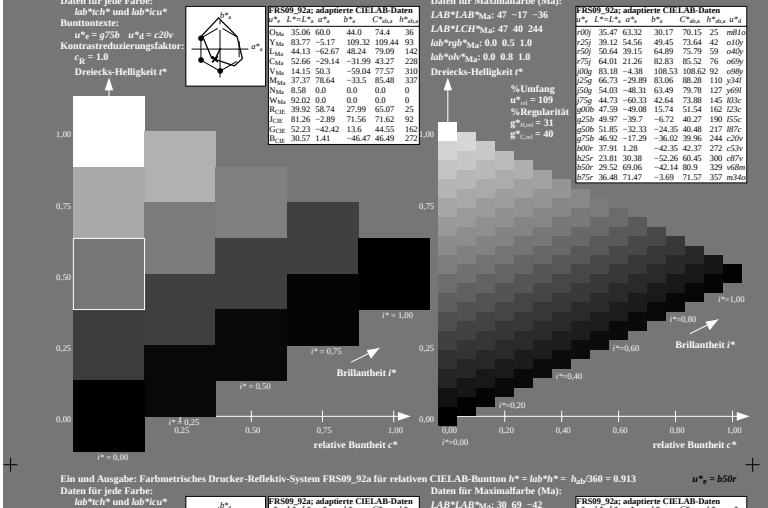

FRS09_92a; adaptierte CIELAB-Daten

	$L^*=L^*_a$	a^*_a	b^*_a	$C^*_{ab,a}$	$h^*_{ab,a}$	u^*_a
O_{Ma}	35.06	60.0	44.0	74.4	36	
Y_{Ma}	83.77	−5.17	109.32	109.44	93	
L_{Ma}	44.13	−62.67	48.24	79.09	142	
C_{Ma}	52.66	−29.14	−31.99	43.27	228	
V_{Ma}	14.15	50.3	−59.84	77.57	310	
M_{Ma}	37.37	78.64	−33.5	85.48	337	
N_{Ma}	8.58	0.0	0.0	0.0	0	
W_{Ma}	92.02	0.0	0.0	0.0	0	
R_{CIE}	39.92	58.74	27.99	65.07	25	
J_{CIE}	81.26	−2.89	71.56	71.62	92	
G_{CIE}	52.23	−42.42	13.6	44.55	162	
B_{CIE}	30.57	1.41	−46.47	46.49	272	

r00j	35.47	63.32	30.17	70.15	25	m81o
r25j	39.12	54.56	49.45	73.64	42	o10y
r50j	50.64	39.15	64.89	75.79	59	o40y
r75j	64.01	21.26	82.83	85.52	76	o69y
r00g	83.18	−4.38	108.53	108.62	92	o98y
r25g	66.73	−29.89	83.06	88.28	110	y34l
r50g	54.03	−48.31	63.49	79.78	127	y69l
r75g	44.73	−60.33	42.64	73.88	145	l03c
g00b	47.59	−49.08	15.74	51.54	162	l23c
g25b	49.97	−39.7	−6.72	40.27	190	l55c
g50b	51.85	−32.33	−24.35	40.48	217	l87c
g75b	46.92	−17.29	−36.02	39.96	244	c20v
b00r	37.91	1.28	−42.35	42.37	272	c53v
b25r	23.81	30.38	−52.26	60.45	300	c87v
b50r	29.52	69.06	−42.14	80.9	329	v68m
b75r	36.48	71.47	−3.69	71.57	357	m34o

Ein und Ausgabe: Farbmetrisches Drucker-Reflektiv-System FRS09_92a für relativen CIELAB-Buntton $h^* = lab^*h^* = h_{ab}/360 = 0.755$ $u^*_e = b00r$

Daten für jede Farbe:
*lab*tch** und *lab*icu**
Benttontexte:
$u^*_e = b00r$ $u^*_d = c53v$
Kontrastreduzierungsfaktor:
$c_R = 1.0$

Daten für Maximalfarbe (Ma):
*LAB*LAB*$^*_{Ma}$: 38 1 −42
*LAB*LCH*$^*_{Ma}$: 38 42 271
*lab*rgb*$^*_{Ma}$: 0.0 0.0 1.0
*lab*olv*$^*_{Ma}$: 0.0 0.47 1.0

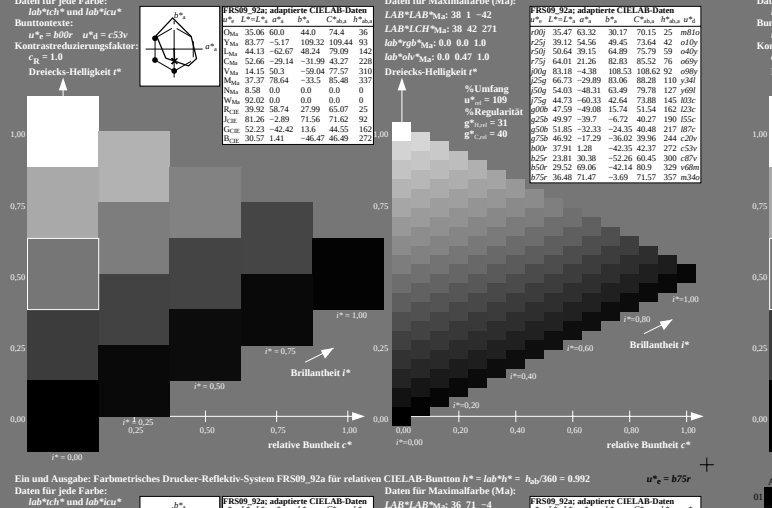

FRS09_92a; adaptierte CIELAB-Daten

	$L^*=L^*_a$	a^*_a	b^*_a	$C^*_{ab,a}$	$h^*_{ab,a}$	u^*_a
O_{Ma}	35.06	60.0	44.0	74.4	36	
Y_{Ma}	83.77	−5.17	109.32	109.44	93	
L_{Ma}	44.13	−62.67	48.24	79.09	142	
C_{Ma}	52.66	−29.14	−31.99	43.27	228	
V_{Ma}	14.15	50.3	−59.84	77.57	310	
M_{Ma}	37.37	78.64	−33.5	85.48	337	
N_{Ma}	8.58	0.0	0.0	0.0	0	
W_{Ma}	92.02	0.0	0.0	0.0	0	
R_{CIE}	39.92	58.74	27.99	65.07	25	
J_{CIE}	81.26	−2.89	71.56	71.62	92	
G_{CIE}	52.23	−42.42	13.6	44.55	162	
B_{CIE}	30.57	1.41	−46.47	46.49	272	

r00j	35.47	63.32	30.17	70.15	25	m81o
r25j	39.12	54.56	49.45	73.64	42	o10y
r50j	50.64	39.15	64.89	75.79	59	o40y
r75j	64.01	21.26	82.83	85.52	76	o69y
r00g	83.18	−4.38	108.53	108.62	92	o98y
r25g	66.73	−29.89	83.06	88.28	110	y34l
r50g	54.03	−48.31	63.49	79.78	127	y69l
r75g	44.73	−60.33	42.64	73.88	145	l03c
g00b	47.59	−49.08	15.74	51.54	162	l23c
g25b	49.97	−39.7	−6.72	40.27	190	l55c
g50b	51.85	−32.33	−24.35	40.48	217	l87c
g75b	46.92	−17.29	−36.02	39.96	244	c20v
b00r	37.91	1.28	−42.35	42.37	272	c53v
b25r	23.81	30.38	−52.26	60.45	300	c87v
b50r	29.52	69.06	−42.14	80.9	329	v68m
b75r	36.48	71.47	−3.69	71.57	357	m34o

Ein und Ausgabe: Farbmetrisches Drucker-Reflektiv-System FRS09_92a für relativen CIELAB-Buntton $h^* = lab^*h^* = h_{ab}/360 = 0.834$ $u^*_e = b25r$

Daten für jede Farbe:
*lab*tch** und *lab*icu**
Benttontexte:
$u^*_e = b25r$ $u^*_d = c87v$
Kontrastreduzierungsfaktor:
$c_R = 1.0$

Daten für Maximalfarbe (Ma):
*LAB*LAB*$^*_{Ma}$: 24 30 −52
*LAB*LCH*$^*_{Ma}$: 24 60 300
*lab*rgb*$^*_{Ma}$: 0.5 0.0 1.0
*lab*olv*$^*_{Ma}$: 0.0 0.12 1.0

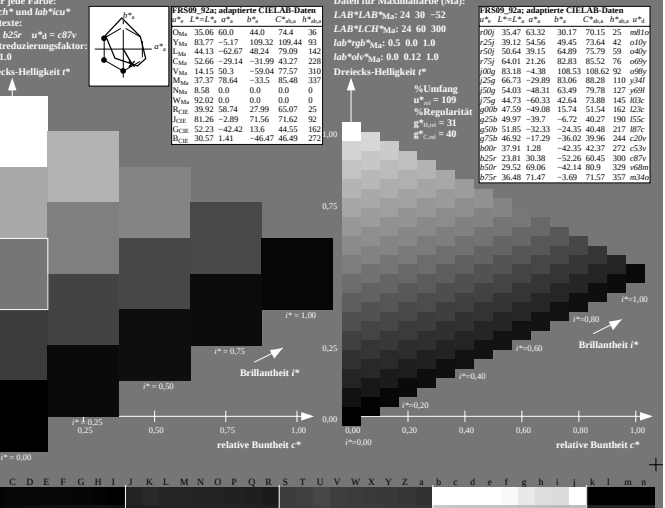

FRS09_92a; adaptierte CIELAB-Daten

	$L^*=L^*_a$	a^*_a	b^*_a	$C^*_{ab,a}$	$h^*_{ab,a}$	u^*_a
O_{Ma}	35.06	60.0	44.0	74.4	36	
Y_{Ma}	83.77	−5.17	109.32	109.44	93	
L_{Ma}	44.13	−62.67	48.24	79.09	142	
C_{Ma}	52.66	−29.14	−31.99	43.27	228	
V_{Ma}	14.15	50.3	−59.84	77.57	310	
M_{Ma}	37.37	78.64	−33.5	85.48	337	
N_{Ma}	8.58	0.0	0.0	0.0	0	
W_{Ma}	92.02	0.0	0.0	0.0	0	
R_{CIE}	39.92	58.74	27.99	65.07	25	
J_{CIE}	81.26	−2.89	71.56	71.62	92	
G_{CIE}	52.23	−42.42	13.6	44.55	162	
B_{CIE}	30.57	1.41	−46.47	46.49	272	

r00j	35.47	63.32	30.17	70.15	25	m81o
r25j	39.12	54.56	49.45	73.64	42	o10y
r50j	50.64	39.15	64.89	75.79	59	o40y
r75j	64.01	21.26	82.83	85.52	76	o69y
r00g	83.18	−4.38	108.53	108.62	92	o98y
r25g	66.73	−29.89	83.06	88.28	110	y34l
r50g	54.03	−48.31	63.49	79.78	127	y69l
r75g	44.73	−60.33	42.64	73.88	145	l03c
g00b	47.59	−49.08	15.74	51.54	162	l23c
g25b	49.97	−39.7	−6.72	40.27	190	l55c
g50b	51.85	−32.33	−24.35	40.48	217	l87c
g75b	46.92	−17.29	−36.02	39.96	244	c20v
b00r	37.91	1.28	−42.35	42.37	272	c53v
b25r	23.81	30.38	−52.26	60.45	300	c87v
b50r	29.52	69.06	−42.14	80.9	329	v68m
b75r	36.48	71.47	−3.69	71.57	357	m34o

Ein und Ausgabe: Farbmetrisches Drucker-Reflektiv-System FRS09_92a für relativen CIELAB-Buntton $h^* = lab^*h^* = h_{ab}/360 = 0.913$ $u^*_e = b50r$

Daten für jede Farbe:
*lab*tch** und *lab*icu**
Benttontexte:
$u^*_e = b50r$ $u^*_d = v68m$
Kontrastreduzierungsfaktor:
$c_R = 1.0$

Daten für Maximalfarbe (Ma):
*LAB*LAB*$^*_{Ma}$: 30 69 −42
*LAB*LCH*$^*_{Ma}$: 30 81 328
*lab*rgb*$^*_{Ma}$: 1.0 0.0 1.0
*lab*olv*$^*_{Ma}$: 0.69 0.0 1.0

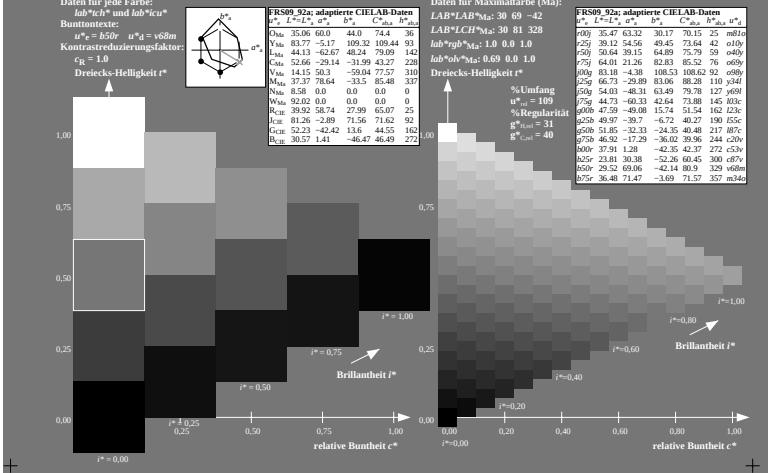

FRS09_92a; adaptierte CIELAB-Daten

	$L^*=L^*_a$	a^*_a	b^*_a	$C^*_{ab,a}$	$h^*_{ab,a}$	u^*_a
O_{Ma}	35.06	60.0	44.0	74.4	36	
Y_{Ma}	83.77	−5.17	109.32	109.44	93	
L_{Ma}	44.13	−62.67	48.24	79.09	142	
C_{Ma}	52.66	−29.14	−31.99	43.27	228	
V_{Ma}	14.15	50.3	−59.84	77.57	310	
M_{Ma}	37.37	78.64	−33.5	85.48	337	
N_{Ma}	8.58	0.0	0.0	0.0	0	
W_{Ma}	92.02	0.0	0.0	0.0	0	
R_{CIE}	39.92	58.74	27.99	65.07	25	
J_{CIE}	81.26	−2.89	71.56	71.62	92	
G_{CIE}	52.23	−42.42	13.6	44.55	162	
B_{CIE}	30.57	1.41	−46.47	46.49	272	

r00j	35.47	63.32	30.17	70.15	25	m81o
r25j	39.12	54.56	49.45	73.64	42	o10y
r50j	50.64	39.15	64.89	75.79	59	o40y
r75j	64.01	21.26	82.83	85.52	76	o69y
r00g	83.18	−4.38	108.53	108.62	92	o98y
r25g	66.73	−29.89	83.06	88.28	110	y34l
r50g	54.03	−48.31	63.49	79.78	127	y69l
r75g	44.73	−60.33	42.64	73.88	145	l03c
g00b	47.59	−49.08	15.74	51.54	162	l23c
g25b	49.97	−39.7	−6.72	40.27	190	l55c
g50b	51.85	−32.33	−24.35	40.48	217	l87c
g75b	46.92	−17.29	−36.02	39.96	244	c20v
b00r	37.91	1.28	−42.35	42.37	272	c53v
b25r	23.81	30.38	−52.26	60.45	300	c87v
b50r	29.52	69.06	−42.14	80.9	329	v68m
b75r	36.48	71.47	−3.69	71.57	357	m34o

Ein und Ausgabe: Farbmetrisches Drucker-Reflektiv-System FRS09_92a für relativen CIELAB-Buntton $h^* = lab^*h^* = h_{ab}/360 = 0.992$ $u^*_e = b75r$

Daten für jede Farbe:
*lab*tch** und *lab*icu**
Benttontexte:
$u^*_e = b75r$ $u^*_d = m34o$
Kontrastreduzierungsfaktor:
$c_R = 1.0$

Daten für Maximalfarbe (Ma):
*LAB*LAB*$^*_{Ma}$: 36 71 −4
*LAB*LCH*$^*_{Ma}$: 36 72 357
*lab*rgb*$^*_{Ma}$: 1.0 0.0 0.5
*lab*olv*$^*_{Ma}$: 1.0 0.0 0.66

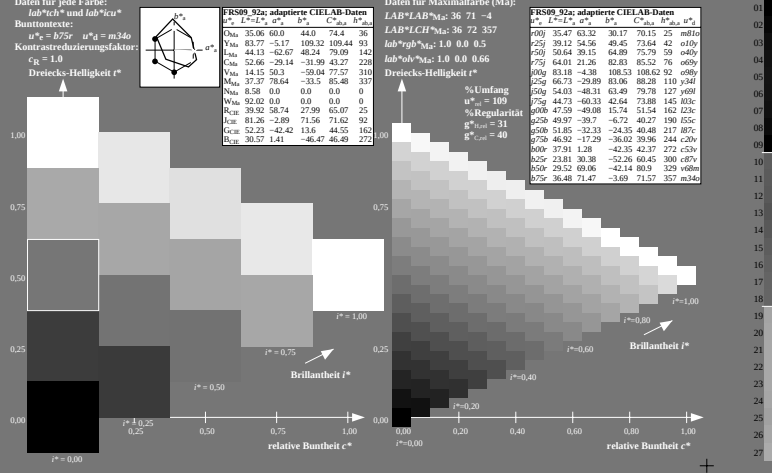

FRS09_92a; adaptierte CIELAB-Daten

	$L^*=L^*_a$	a^*_a	b^*_a	$C^*_{ab,a}$	$h^*_{ab,a}$	u^*_a
O_{Ma}	35.06	60.0	44.0	74.4	36	
Y_{Ma}	83.77	−5.17	109.32	109.44	93	
L_{Ma}	44.13	−62.67	48.24	79.09	142	
C_{Ma}	52.66	−29.14	−31.99	43.27	228	
V_{Ma}	14.15	50.3	−59.84	77.57	310	
M_{Ma}	37.37	78.64	−33.5	85.48	337	
N_{Ma}	8.58	0.0	0.0	0.0	0	
W_{Ma}	92.02	0.0	0.0	0.0	0	
R_{CIE}	39.92	58.74	27.99	65.07	25	
J_{CIE}	81.26	−2.89	71.56	71.62	92	
G_{CIE}	52.23	−42.42	13.6	44.55	162	
B_{CIE}	30.57	1.41	−46.47	46.49	272	

r00j	35.47	63.32	30.17	70.15	25	m81o
r25j	39.12	54.56	49.45	73.64	42	o10y
r50j	50.64	39.15	64.89	75.79	59	o40y
r75j	64.01	21.26	82.83	85.52	76	o69y
r00g	83.18	−4.38	108.53	108.62	92	o98y
r25g	66.73	−29.89	83.06	88.28	110	y34l
r50g	54.03	−48.31	63.49	79.78	127	y69l
r75g	44.73	−60.33	42.64	73.88	145	l03c
g00b	47.59	−49.08	15.74	51.54	162	l23c
g25b	49.97	−39.7	−6.72	40.27	190	l55c
g50b	51.85	−32.33	−24.35	40.48	217	l87c
g75b	46.92	−17.29	−36.02	39.96	244	c20v
b00r	37.91	1.28	−42.35	42.37	272	c53v
b25r	23.81	30.38	−52.26	60.45	300	c87v
b50r	29.52	69.06	−42.14	80.9	329	v68m
b75r	36.48	71.47	−3.69	71.57	357	m34o

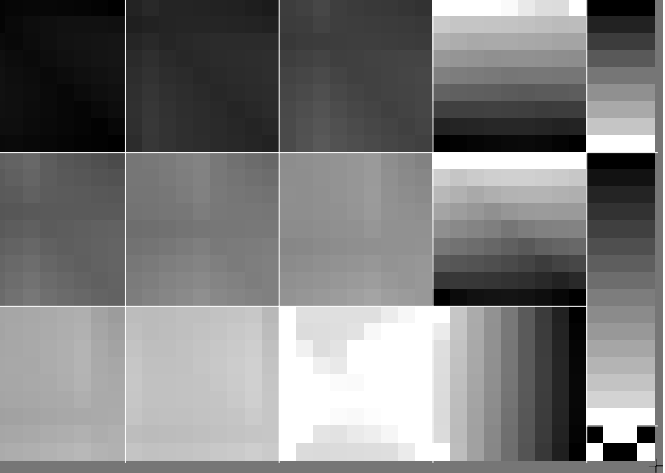

Ein und Ausgabe: Farbmetrisches Drucker-Reflektiv-System FRS09_92a für relativen CIELAB-Buntton $h^* = lab^*h^* = h_{ab}/360 = 0.451$ $u^*_e = g00b$

Daten für jede Farbe:
*lab*tch** und *lab*icu**
Benttontexte:
$u^*_e = g00b$ $u^*_d = l23c$
Kontrastreduzierungsfaktor:
$c_R = 1.0$

Daten für Maximalfarbe (Ma):
*LAB*LAB*$^*_{Ma}$: 48 −49 16
*LAB*LCH*$^*_{Ma}$: 48 52 162
*lab*rgb*$^*_{Ma}$: 0.0 1.0 0.0
*lab*olv*$^*_{Ma}$: 0.0 1.0 0.23

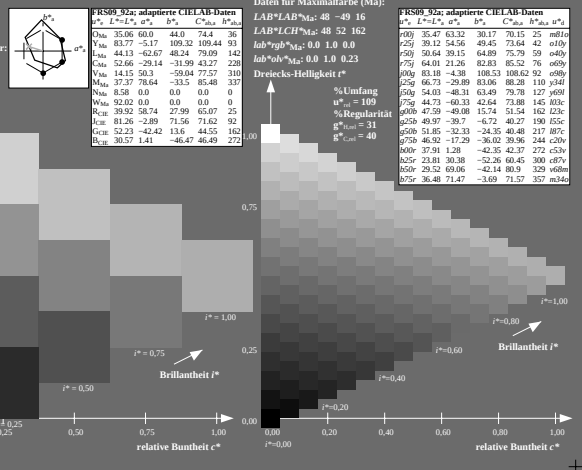

FRS09_92a; adaptierte CIELAB-Daten

	$L^*=L^*_a$	a^*_a	b^*_a	$C^*_{ab,a}$	$h^*_{ab,a}$
O_{Ma}	35.06	60.0	44.0	74.4	36
Y_{Ma}	83.77	−5.17	109.32	109.44	93
L_{Ma}	44.13	−62.67	48.24	79.09	142
C_{Ma}	52.66	−29.14	−31.99	43.27	228
V_{Ma}	14.15	50.3	−59.84	77.57	310
M_{Ma}	37.37	78.64	−33.5	85.48	337
N_{Ma}	8.58	0.0	0.0	0.0	0
W_{Ma}	92.02	0.0	0.0	0.0	0
R_{CIE}	39.92	58.74	27.99	65.07	25
J_{CIE}	81.26	−2.89	71.56	71.62	92
G_{CIE}	52.23	−42.42	13.6	44.55	162
B_{CIE}	30.57	1.41	−46.47	46.49	272

	$L^*=L^*_a$	a^*_a	b^*_a	$C^*_{ab,a}$	$h^*_{ab,a}$	u^*_a
r00j	35.47	63.32	30.17	70.15	25	m81r
r25j	39.12	54.56	49.45	73.64	42	o10y
r50j	50.64	39.15	64.89	75.79	59	o40y
r75j	64.01	21.26	82.83	85.52	76	o69y
y00y	83.18	−4.38	108.53	108.62	92	o98y
y25g	66.73	−29.89	83.06	88.28	110	y34l
y50g	54.03	−48.31	63.49	79.78	127	y69l
y75g	44.73	−60.33	42.64	73.88	145	l03c
g00b	47.59	−49.08	15.74	51.54	162	l23c
g25b	49.97	−39.7	−6.72	40.27	190	l55c
g50b	51.85	−32.33	−24.35	40.48	217	l87c
g75b	46.92	−17.29	−36.02	39.96	244	c20v
b00r	37.91	1.28	−42.35	42.37	272	c53v
b25r	23.81	30.38	−52.26	60.45	300	c87v
b50r	29.52	69.06	−42.14	80.9	329	v68m
b75r	36.48	71.47	−3.69	71.57	357	m34b

Ein und Ausgabe: Farbmetrisches Drucker-Reflektiv-System FRS09_92a für relativen CIELAB-Buntton $h^* = lab^*h^* = h_{ab}/360 = 0.527$ $u^*_e = g25b$

Daten für jede Farbe:
*lab*tch** und *lab*icu**
Benttontexte:
$u^*_e = g25b$ $u^*_d = l55c$
Kontrastreduzierungsfaktor:
$c_R = 1.0$

Daten für Maximalfarbe (Ma):
*LAB*LAB*$^*_{Ma}$: 50 −40 −7
*LAB*LCH*$^*_{Ma}$: 50 40 189
*lab*rgb*$^*_{Ma}$: 0.0 1.0 0.5
*lab*olv*$^*_{Ma}$: 0.0 1.0 0.55

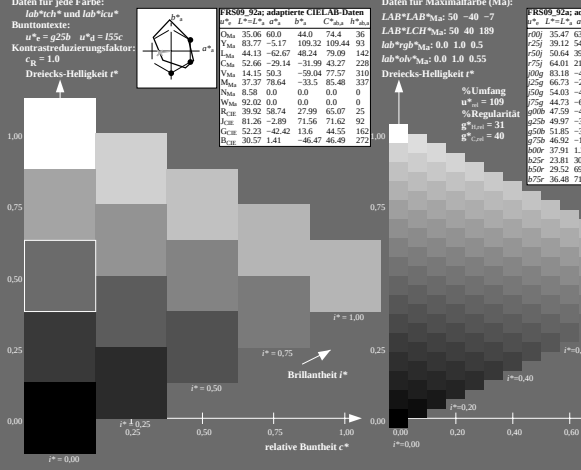

FRS09_92a; adaptierte CIELAB-Daten

	$L^*=L^*_a$	a^*_a	b^*_a	$C^*_{ab,a}$	$h^*_{ab,a}$
O_{Ma}	35.06	60.0	44.0	74.4	36
Y_{Ma}	83.77	−5.17	109.32	109.44	93
L_{Ma}	44.13	−62.67	48.24	79.09	142
C_{Ma}	52.66	−29.14	−31.99	43.27	228
V_{Ma}	14.15	50.3	−59.84	77.57	310
M_{Ma}	37.37	78.64	−33.5	85.48	337
N_{Ma}	8.58	0.0	0.0	0.0	0
W_{Ma}	92.02	0.0	0.0	0.0	0
R_{CIE}	39.92	58.74	27.99	65.07	25
J_{CIE}	81.26	−2.89	71.56	71.62	92
G_{CIE}	52.23	−42.42	13.6	44.55	162
B_{CIE}	30.57	1.41	−46.47	46.49	272

	$L^*=L^*_a$	a^*_a	b^*_a	$C^*_{ab,a}$	$h^*_{ab,a}$	u^*_a
r00j	35.47	63.32	30.17	70.15	25	m81r
r25j	39.12	54.56	49.45	73.64	42	o10y
r50j	50.64	39.15	64.89	75.79	59	o40y
r75j	64.01	21.26	82.83	85.52	76	o69y
y00y	83.18	−4.38	108.53	108.62	92	o98y
y25g	66.73	−29.89	83.06	88.28	110	y34l
y50g	54.03	−48.31	63.49	79.78	127	y69l
y75g	44.73	−60.33	42.64	73.88	145	l03c
g00b	47.59	−49.08	15.74	51.54	162	l23c
g25b	49.97	−39.7	−6.72	40.27	190	l55c
g50b	51.85	−32.33	−24.35	40.48	217	l87c
g75b	46.92	−17.29	−36.02	39.96	244	c20v
b00r	37.91	1.28	−42.35	42.37	272	c53v
b25r	23.81	30.38	−52.26	60.45	300	c87v
b50r	29.52	69.06	−42.14	80.9	329	v68m
b75r	36.48	71.47	−3.69	71.57	357	m34b

Ein und Ausgabe: Farbmetrisches Drucker-Reflektiv-System FRS09_92a für relativen CIELAB-Buntton $h^* = lab^*h^* = h_{ab}/360 = 0.603$ $u^*_e = g50b$

Daten für jede Farbe:
*lab*tch** und *lab*icu**
Benttontexte:
$u^*_e = g50b$ $u^*_d = l87c$
Kontrastreduzierungsfaktor:
$c_R = 1.0$

Daten für Maximalfarbe (Ma):
*LAB*LAB*$^*_{Ma}$: 52 −32 −24
*LAB*LCH*$^*_{Ma}$: 52 40 216
*lab*rgb*$^*_{Ma}$: 0.0 1.0 1.0
*lab*olv*$^*_{Ma}$: 0.0 1.0 0.87

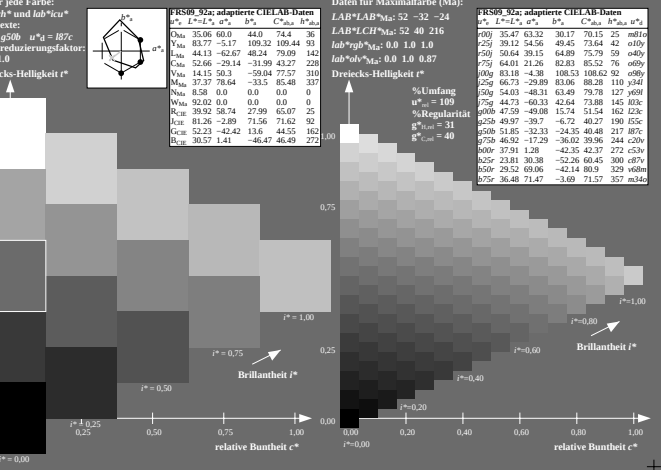

FRS09_92a; adaptierte CIELAB-Daten

	$L^*=L^*_a$	a^*_a	b^*_a	$C^*_{ab,a}$	$h^*_{ab,a}$
O_{Ma}	35.06	60.0	44.0	74.4	36
Y_{Ma}	83.77	−5.17	109.32	109.44	93
L_{Ma}	44.13	−62.67	48.24	79.09	142
C_{Ma}	52.66	−29.14	−31.99	43.27	228
V_{Ma}	14.15	50.3	−59.84	77.57	310
M_{Ma}	37.37	78.64	−33.5	85.48	337
N_{Ma}	8.58	0.0	0.0	0.0	0
W_{Ma}	92.02	0.0	0.0	0.0	0
R_{CIE}	39.92	58.74	27.99	65.07	25
J_{CIE}	81.26	−2.89	71.56	71.62	92
G_{CIE}	52.23	−42.42	13.6	44.55	162
B_{CIE}	30.57	1.41	−46.47	46.49	272

	$L^*=L^*_a$	a^*_a	b^*_a	$C^*_{ab,a}$	$h^*_{ab,a}$	u^*_a
r00j	35.47	63.32	30.17	70.15	25	m81r
r25j	39.12	54.56	49.45	73.64	42	o10y
r50j	50.64	39.15	64.89	75.79	59	o40y
r75j	64.01	21.26	82.83	85.52	76	o69y
y00y	83.18	−4.38	108.53	108.62	92	o98y
y25g	66.73	−29.89	83.06	88.28	110	y34l
y50g	54.03	−48.31	63.49	79.78	127	y69l
y75g	44.73	−60.33	42.64	73.88	145	l03c
g00b	47.59	−49.08	15.74	51.54	162	l23c
g25b	49.97	−39.7	−6.72	40.27	190	l55c
g50b	51.85	−32.33	−24.35	40.48	217	l87c
g75b	46.92	−17.29	−36.02	39.96	244	c20v
b00r	37.91	1.28	−42.35	42.37	272	c53v
b25r	23.81	30.38	−52.26	60.45	300	c87v
b50r	29.52	69.06	−42.14	80.9	329	v68m
b75r	36.48	71.47	−3.69	71.57	357	m34b

Ein und Ausgabe: Farbmetrisches Drucker-Reflektiv-System FRS09_92a für relativen CIELAB-Buntton $h^* = lab^*h^* = h_{ab}/360 = 0.679$ $u^*_e = g75b$

Daten für jede Farbe:
*lab*tch** und *lab*icu**
Benttontexte:
$u^*_e = g75b$ $u^*_d = c20v$
Kontrastreduzierungsfaktor:
$c_R = 1.0$

Daten für Maximalfarbe (Ma):
*LAB*LAB*$^*_{Ma}$: 47 −17 −36
*LAB*LCH*$^*_{Ma}$: 47 40 244
*lab*rgb*$^*_{Ma}$: 0.0 0.5 1.0
*lab*olv*$^*_{Ma}$: 0.0 0.8 1.0

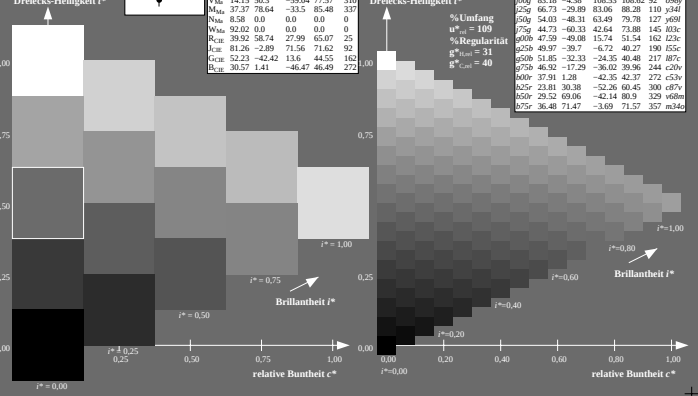

FRS09_92a; adaptierte CIELAB-Daten

	$L^*=L^*_a$	a^*_a	b^*_a	$C^*_{ab,a}$	$h^*_{ab,a}$
O_{Ma}	35.06	60.0	44.0	74.4	36
Y_{Ma}	83.77	−5.17	109.32	109.44	93
L_{Ma}	44.13	−62.67	48.24	79.09	142
C_{Ma}	52.66	−29.14	−31.99	43.27	228
V_{Ma}	14.15	50.3	−59.84	77.57	310
M_{Ma}	37.37	78.64	−33.5	85.48	337
N_{Ma}	8.58	0.0	0.0	0.0	0
W_{Ma}	92.02	0.0	0.0	0.0	0
R_{CIE}	39.92	58.74	27.99	65.07	25
J_{CIE}	81.26	−2.89	71.56	71.62	92
G_{CIE}	52.23	−42.42	13.6	44.55	162
B_{CIE}	30.57	1.41	−46.47	46.49	272

	$L^*=L^*_a$	a^*_a	b^*_a	$C^*_{ab,a}$	$h^*_{ab,a}$	u^*_a
r00j	35.47	63.32	30.17	70.15	25	m81r
r25j	39.12	54.56	49.45	73.64	42	o10y
r50j	50.64	39.15	64.89	75.79	59	o40y
r75j	64.01	21.26	82.83	85.52	76	o69y
y00y	83.18	−4.38	108.53	108.62	92	o98y
y25g	66.73	−29.89	83.06	88.28	110	y34l
y50g	54.03	−48.31	63.49	79.78	127	y69l
y75g	44.73	−60.33	42.64	73.88	145	l03c
g00b	47.59	−49.08	15.74	51.54	162	l23c
g25b	49.97	−39.7	−6.72	40.27	190	l55c
g50b	51.85	−32.33	−24.35	40.48	217	l87c
g75b	46.92	−17.29	−36.02	39.96	244	c20v
b00r	37.91	1.28	−42.35	42.37	272	c53v
b25r	23.81	30.38	−52.26	60.45	300	c87v
b50r	29.52	69.06	−42.14	80.9	329	v68m
b75r	36.48	71.47	−3.69	71.57	357	m34b

Ein und Ausgabe: Farbmetrisches Drucker-Reflektiv-System FRS09_92a für relativen CIELAB-Buntton $h^* = lab^*h^* = h_{ab}/360 = 0.755$ $u^*_e = b00r$

Daten für jede Farbe:
*lab*tch** und *lab*icu**
Benttontexte:
$u^*_e = b00r$ $u^*_d = c53v$
Kontrastreduzierungsfaktor:
$c_R = 1.0$

Daten für Maximalfarbe (Ma):
*LAB*LAB*$^*_{Ma}$: 38 1 −42
*LAB*LCH*$^*_{Ma}$: 38 42 271
*lab*rgb*$^*_{Ma}$: 0.0 0.0 1.0
*lab*olv*$^*_{Ma}$: 0.0 0.47 1.0

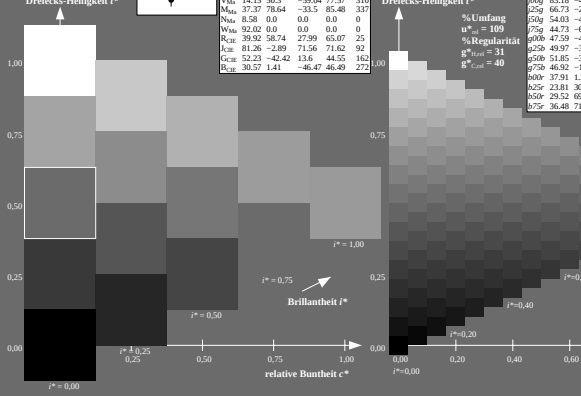

FRS09_92a; adaptierte CIELAB-Daten

	$L^*=L^*_a$	a^*_a	b^*_a	$C^*_{ab,a}$	$h^*_{ab,a}$
O_{Ma}	35.06	60.0	44.0	74.4	36
Y_{Ma}	83.77	−5.17	109.32	109.44	93
L_{Ma}	44.13	−62.67	48.24	79.09	142
C_{Ma}	52.66	−29.14	−31.99	43.27	228
V_{Ma}	14.15	50.3	−59.84	77.57	310
M_{Ma}	37.37	78.64	−33.5	85.48	337
N_{Ma}	8.58	0.0	0.0	0.0	0
W_{Ma}	92.02	0.0	0.0	0.0	0
R_{CIE}	39.92	58.74	27.99	65.07	25
J_{CIE}	81.26	−2.89	71.56	71.62	92
G_{CIE}	52.23	−42.42	13.6	44.55	162
B_{CIE}	30.57	1.41	−46.47	46.49	272

	$L^*=L^*_a$	a^*_a	b^*_a	$C^*_{ab,a}$	$h^*_{ab,a}$	u^*_a
r00j	35.47	63.32	30.17	70.15	25	m81r
r25j	39.12	54.56	49.45	73.64	42	o10y
r50j	50.64	39.15	64.89	75.79	59	o40y
r75j	64.01	21.26	82.83	85.52	76	o69y
y00y	83.18	−4.38	108.53	108.62	92	o98y
y25g	66.73	−29.89	83.06	88.28	110	y34l
y50g	54.03	−48.31	63.49	79.78	127	y69l
y75g	44.73	−60.33	42.64	73.88	145	l03c
g00b	47.59	−49.08	15.74	51.54	162	l23c
g25b	49.97	−39.7	−6.72	40.27	190	l55c
g50b	51.85	−32.33	−24.35	40.48	217	l87c
g75b	46.92	−17.29	−36.02	39.96	244	c20v
b00r	37.91	1.28	−42.35	42.37	272	c53v
b25r	23.81	30.38	−52.26	60.45	300	c87v
b50r	29.52	69.06	−42.14	80.9	329	v68m
b75r	36.48	71.47	−3.69	71.57	357	m34b

Ein und Ausgabe: Farbmetrisches Drucker-Reflektiv-System FRS09_92a für relativen CIELAB-Buntton $h^* = lab^*h^* = h_{ab}/360 = 0.834$ $u^*_e = b25r$

Daten für jede Farbe:
*lab*tch** und *lab*icu**
Benttontexte:
$u^*_e = b25r$ $u^*_d = c87v$
Kontrastreduzierungsfaktor:
$c_R = 1.0$

Daten für Maximalfarbe (Ma):
*LAB*LAB*$^*_{Ma}$: 24 30 −52
*LAB*LCH*$^*_{Ma}$: 24 60 300
*lab*rgb*$^*_{Ma}$: 0.5 0.0 1.0
*lab*olv*$^*_{Ma}$: 0.0 0.12 1.0

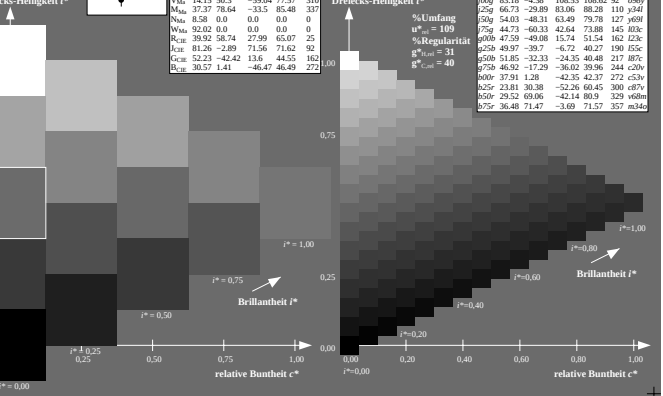

FRS09_92a; adaptierte CIELAB-Daten

	$L^*=L^*_a$	a^*_a	b^*_a	$C^*_{ab,a}$	$h^*_{ab,a}$
O_{Ma}	35.06	60.0	44.0	74.4	36
Y_{Ma}	83.77	−5.17	109.32	109.44	93
L_{Ma}	44.13	−62.67	48.24	79.09	142
C_{Ma}	52.66	−29.14	−31.99	43.27	228
V_{Ma}	14.15	50.3	−59.84	77.57	310
M_{Ma}	37.37	78.64	−33.5	85.48	337
N_{Ma}	8.58	0.0	0.0	0.0	0
W_{Ma}	92.02	0.0	0.0	0.0	0
R_{CIE}	39.92	58.74	27.99	65.07	25
J_{CIE}	81.26	−2.89	71.56	71.62	92
G_{CIE}	52.23	−42.42	13.6	44.55	162
B_{CIE}	30.57	1.41	−46.47	46.49	272

	$L^*=L^*_a$	a^*_a	b^*_a	$C^*_{ab,a}$	$h^*_{ab,a}$	u^*_a
r00j	35.47	63.32	30.17	70.15	25	m81r
r25j	39.12	54.56	49.45	73.64	42	o10y
r50j	50.64	39.15	64.89	75.79	59	o40y
r75j	64.01	21.26	82.83	85.52	76	o69y
y00y	83.18	−4.38	108.53	108.62	92	o98y
y25g	66.73	−29.89	83.06	88.28	110	y34l
y50g	54.03	−48.31	63.49	79.78	127	y69l
y75g	44.73	−60.33	42.64	73.88	145	l03c
g00b	47.59	−49.08	15.74	51.54	162	l23c
g25b	49.97	−39.7	−6.72	40.27	190	l55c
g50b	51.85	−32.33	−24.35	40.48	217	l87c
g75b	46.92	−17.29	−36.02	39.96	244	c20v
b00r	37.91	1.28	−42.35	42.37	272	c53v
b25r	23.81	30.38	−52.26	60.45	300	c87v
b50r	29.52	69.06	−42.14	80.9	329	v68m
b75r	36.48	71.47	−3.69	71.57	357	m34b

Ein und Ausgabe: Farbmetrisches Drucker-Reflektiv-System FRS09_92a für relativen CIELAB-Buntton $h^* = lab^*h^* = h_{ab}/360 = 0.913$ $u^*_e = b50r$

Daten für jede Farbe:
*lab*tch** und *lab*icu**
Benttontexte:
$u^*_e = b50r$ $u^*_d = v68m$
Kontrastreduzierungsfaktor:
$c_R = 1.0$

Daten für Maximalfarbe (Ma):
*LAB*LAB*$^*_{Ma}$: 30 69 −42
*LAB*LCH*$^*_{Ma}$: 30 81 328
*lab*rgb*$^*_{Ma}$: 1.0 0.0 1.0
*lab*olv*$^*_{Ma}$: 0.69 0.0 1.0

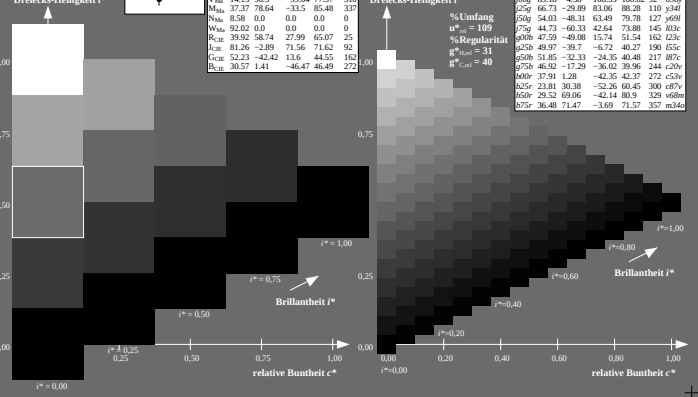

FRS09_92a; adaptierte CIELAB-Daten

	$L^*=L^*_a$	a^*_a	b^*_a	$C^*_{ab,a}$	$h^*_{ab,a}$
O_{Ma}	35.06	60.0	44.0	74.4	36
Y_{Ma}	83.77	−5.17	109.32	109.44	93
L_{Ma}	44.13	−62.67	48.24	79.09	142
C_{Ma}	52.66	−29.14	−31.99	43.27	228
V_{Ma}	14.15	50.3	−59.84	77.57	310
M_{Ma}	37.37	78.64	−33.5	85.48	337
N_{Ma}	8.58	0.0	0.0	0.0	0
W_{Ma}	92.02	0.0	0.0	0.0	0
R_{CIE}	39.92	58.74	27.99	65.07	25
J_{CIE}	81.26	−2.89	71.56	71.62	92
G_{CIE}	52.23	−42.42	13.6	44.55	162
B_{CIE}	30.57	1.41	−46.47	46.49	272

	$L^*=L^*_a$	a^*_a	b^*_a	$C^*_{ab,a}$	$h^*_{ab,a}$	u^*_a
r00j	35.47	63.32	30.17	70.15	25	m81r
r25j	39.12	54.56	49.45	73.64	42	o10y
r50j	50.64	39.15	64.89	75.79	59	o40y
r75j	64.01	21.26	82.83	85.52	76	o69y
y00y	83.18	−4.38	108.53	108.62	92	o98y
y25g	66.73	−29.89	83.06	88.28	110	y34l
y50g	54.03	−48.31	63.49	79.78	127	y69l
y75g	44.73	−60.33	42.64	73.88	145	l03c
g00b	47.59	−49.08	15.74	51.54	162	l23c
g25b	49.97	−39.7	−6.72	40.27	190	l55c
g50b	51.85	−32.33	−24.35	40.48	217	l87c
g75b	46.92	−17.29	−36.02	39.96	244	c20v
b00r	37.91	1.28	−42.35	42.37	272	c53v
b25r	23.81	30.38	−52.26	60.45	300	c87v
b50r	29.52	69.06	−42.14	80.9	329	v68m
b75r	36.48	71.47	−3.69	71.57	357	m34b

Ein und Ausgabe: Farbmetrisches Drucker-Reflektiv-System FRS09_92a für relativen CIELAB-Buntton $h^* = lab^*h^* = h_{ab}/360 = 0.992$ $u^*_e = b75r$

Daten für jede Farbe:
*lab*tch** und *lab*icu**
Benttontexte:
$u^*_e = b75r$ $u^*_d = m34o$
Kontrastreduzierungsfaktor:
$c_R = 1.0$

Daten für Maximalfarbe (Ma):
*LAB*LAB*$^*_{Ma}$: 36 71 −4
*LAB*LCH*$^*_{Ma}$: 36 72 357
*lab*rgb*$^*_{Ma}$: 1.0 0.0 0.5
*lab*olv*$^*_{Ma}$: 1.0 0.0 0.66

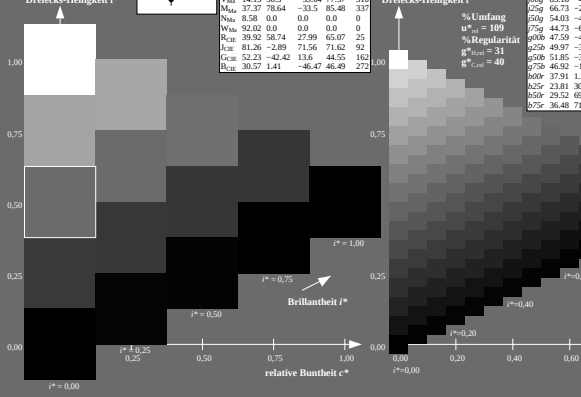

FRS09_92a; adaptierte CIELAB-Daten

	$L^*=L^*_a$	a^*_a	b^*_a	$C^*_{ab,a}$	$h^*_{ab,a}$
O_{Ma}	35.06	60.0	44.0	74.4	36
Y_{Ma}	83.77	−5.17	109.32	109.44	93
L_{Ma}	44.13	−62.67	48.24	79.09	142
C_{Ma}	52.66	−29.14	−31.99	43.27	228
V_{Ma}	14.15	50.3	−59.84	77.57	310
M_{Ma}	37.37	78.64	−33.5	85.48	337
N_{Ma}	8.58	0.0	0.0	0.0	0
W_{Ma}	92.02	0.0	0.0	0.0	0
R_{CIE}	39.92	58.74	27.99	65.07	25
J_{CIE}	81.26	−2.89	71.56	71.62	92
G_{CIE}	52.23	−42.42	13.6	44.55	162
B_{CIE}	30.57	1.41	−46.47	46.49	272

	$L^*=L^*_a$	a^*_a	b^*_a	$C^*_{ab,a}$	$h^*_{ab,a}$	u^*_a
r00j	35.47	63.32	30.17	70.15	25	m81r
r25j	39.12	54.56	49.45	73.64	42	o10y
r50j	50.64	39.15	64.89	75.79	59	o40y
r75j	64.01	21.26	82.83	85.52	76	o69y
y00y	83.18	−4.38	108.53	108.62	92	o98y
y25g	66.73	−29.89	83.06	88.28	110	y34l
y50g	54.03	−48.31	63.49	79.78	127	y69l
y75g	44.73	−60.33	42.64	73.88	145	l03c
g00b	47.59	−49.08	15.74	51.54	162	l23c
g25b	49.97	−39.7	−6.72	40.27	190	l55c
g50b	51.85	−32.33	−24.35	40.48	217	l87c
g75b	46.92	−17.29	−36.02	39.96	244	c20v
b00r	37.91	1.28	−42.35	42.37	272	c53v
b25r	23.81	30.38	−52.26	60.45	300	c87v
b50r	29.52	69.06	−42.14	80.9	329	v68m
b75r	36.48	71.47	−3.69	71.57	357	m34b

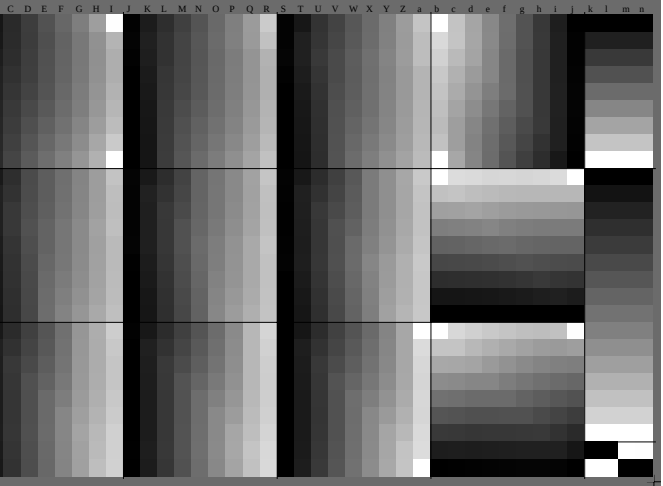

Ein und Ausgabe: Farbmetrisches Drucker-Reflektiv-System FRS09_92a für relativen CIELAB-Buntton $h^* = lab^*h^* = h_{ab}/360 = 0.451$ $u^*_e = g00b$

Daten für jede Farbe:
*lab*tch** und *lab*icu**
Benttontexte:
$u^*_e = g00b$ $u^*_d = l23c$
Kontrastreduzierungsfaktor:
$c_R = 1.0$

Daten für Maximalfarbe (Ma):
*LAB*LAB*$^*_{Ma}$: 48 −49 16
*LAB*LCH*$^*_{Ma}$: 48 52 162
*lab*rgb*$^*_{Ma}$: 0.0 1.0 0.0
*lab*olv*$^*_{Ma}$: 0.0 1.0 0.23

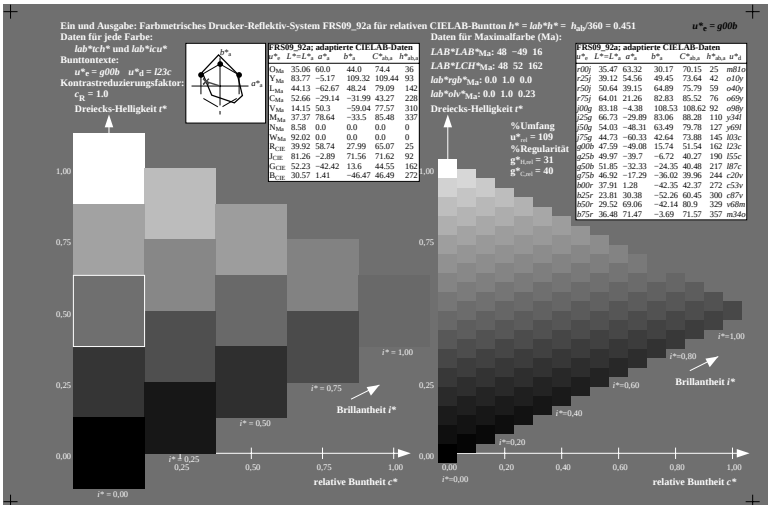

FRS09_92a; adaptierte CIELAB-Daten

	$L^*=L^*_a$	a^*_a	b^*_a	$C^*_{ab,a}$	$h^*_{ab,a}$	u^*_a
O_{Ma}	35.06	60.0	44.0	74.4	36	
Y_{Ma}	83.77	−5.17	109.32	109.44	93	
L_{Ma}	44.13	−62.67	48.24	79.09	142	
C_{Ma}	52.66	−29.14	−31.99	43.27	228	
V_{Ma}	14.15	50.3	−59.04	77.57	310	
M_{Ma}	37.37	78.64	−33.5	85.48	337	
N_{Ma}	8.58	0.0	0.0	0.0	0	
W_{Ma}	92.02	0.0	0.0	0.0	0	
R_{CIE}	39.92	58.74	27.99	65.07	25	
J_{CIE}	81.26	−2.89	71.56	71.62	92	
G_{CIE}	52.23	−42.42	13.6	44.55	162	
B_{CIE}	30.57	1.41	−46.47	46.49	272	

	$L^*=L^*_a$	a^*_a	b^*_a	$C^*_{ab,a}$	$h^*_{ab,a}$	u^*_a	
r00j	35.47	63.32	30.17	70.15	25	m81e	
r25j	39.12	54.56	49.45	73.64	42	o10y	
r50j	50.64	39.15	64.89	75.79	59	o40y	
r75j	64.01	21.26	82.83	85.52	76	o69y	
r00y	83.18	−4.38	108.53	108.62	92	o98y	
r25g	66.73	−29.89	83.06	88.28	110	y34f	
r50g	54.03	−48.31	63.49	79.78	127	y69f	
r75g	44.73	−60.33	42.64	73.88	145	t03c	
g00b	47.59	−49.08	15.74	51.54	162	t23c	
g25b	49.97	−39.7	−6.72	40.27	190	t55c	
g50b	51.85	−32.33	−24.35	40.48	217	t87c	
g75b	46.92	−17.29	−36.02	39.96	244	c20v	
b00r	37.91	1.28	−42.35	42.37	272	c53v	
b25r	23.81	30.38	−52.26	60.45	300	c87v	
b50r	29.52	69.06	−42.14	80.9	329	v68m	
b75r	36.48	71.47	−3.69	71.57	357	m34b	

Ein und Ausgabe: Farbmetrisches Drucker-Reflektiv-System FRS09_92a für relativen CIELAB-Buntton $h^* = lab^*h^* = h_{ab}/360 = 0.527$ $u^*_e = g25b$

Daten für jede Farbe:
*lab*tch** und *lab*icu**
Benttontexte:
$u^*_e = g25b$ $u^*_d = l55c$
Kontrastreduzierungsfaktor:
$c_R = 1.0$

Daten für Maximalfarbe (Ma):
*LAB*LAB*$^*_{Ma}$: 50 −40 −7
*LAB*LCH*$^*_{Ma}$: 50 40 189
*lab*rgb*$^*_{Ma}$: 0.0 1.0 0.5
*lab*olv*$^*_{Ma}$: 0.0 1.0 0.55

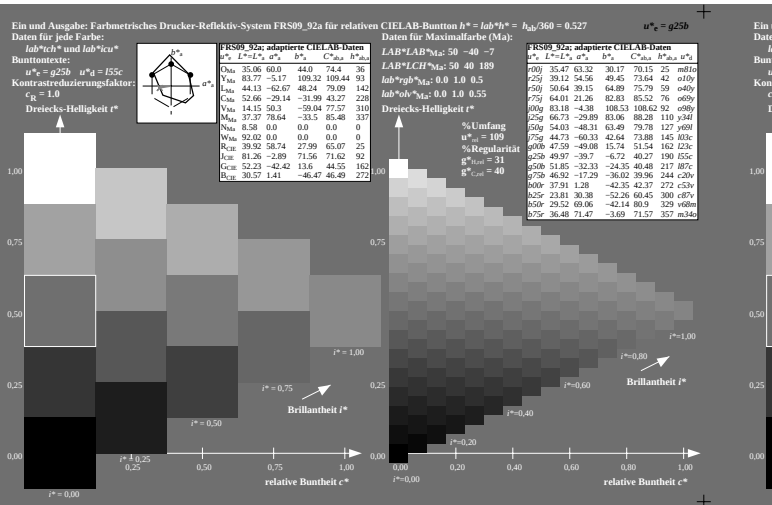

FRS09_92a; adaptierte CIELAB-Daten

	$L^*=L^*_a$	a^*_a	b^*_a	$C^*_{ab,a}$	$h^*_{ab,a}$	u^*_a
O_{Ma}	35.06	60.0	44.0	74.4	36	
Y_{Ma}	83.77	−5.17	109.32	109.44	93	
L_{Ma}	44.13	−62.67	48.24	79.09	142	
C_{Ma}	52.66	−29.14	−31.99	43.27	228	
V_{Ma}	14.15	50.3	−59.04	77.57	310	
M_{Ma}	37.37	78.64	−33.5	85.48	337	
N_{Ma}	8.58	0.0	0.0	0.0	0	
W_{Ma}	92.02	0.0	0.0	0.0	0	
R_{CIE}	39.92	58.74	27.99	65.07	25	
J_{CIE}	81.26	−2.89	71.56	71.62	92	
G_{CIE}	52.23	−42.42	13.6	44.55	162	
B_{CIE}	30.57	1.41	−46.47	46.49	272	

	$L^*=L^*_a$	a^*_a	b^*_a	$C^*_{ab,a}$	$h^*_{ab,a}$	u^*_a	
r00j	35.47	63.32	30.17	70.15	25	m81e	
r25j	39.12	54.56	49.45	73.64	42	o10y	
r50j	50.64	39.15	64.89	75.79	59	o40y	
r75j	64.01	21.26	82.83	85.52	76	o69y	
r00y	83.18	−4.38	108.53	108.62	92	o98y	
r25g	66.73	−29.89	83.06	88.28	110	y34f	
r50g	54.03	−48.31	63.49	79.78	127	y69f	
r75g	44.73	−60.33	42.64	73.88	145	t03c	
g00b	47.59	−49.08	15.74	51.54	162	t23c	
g25b	49.97	−39.7	−6.72	40.27	190	t55c	
g50b	51.85	−32.33	−24.35	40.48	217	t87c	
g75b	46.92	−17.29	−36.02	39.96	244	c20v	
b00r	37.91	1.28	−42.35	42.37	272	c53v	
b25r	23.81	30.38	−52.26	60.45	300	c87v	
b50r	29.52	69.06	−42.14	80.9	329	v68m	
b75r	36.48	71.47	−3.69	71.57	357	m34b	

Ein und Ausgabe: Farbmetrisches Drucker-Reflektiv-System FRS09_92a für relativen CIELAB-Buntton $h^* = lab^*h^* = h_{ab}/360 = 0.603$ $u^*_e = g50b$

Daten für jede Farbe:
*lab*tch** und *lab*icu**
Benttontexte:
$u^*_e = g50b$ $u^*_d = l87c$
Kontrastreduzierungsfaktor:
$c_R = 1.0$

Daten für Maximalfarbe (Ma):
*LAB*LAB*$^*_{Ma}$: 52 −32 −24
*LAB*LCH*$^*_{Ma}$: 52 40 216
*lab*rgb*$^*_{Ma}$: 0.0 1.0 1.0
*lab*olv*$^*_{Ma}$: 0.0 1.0 0.87

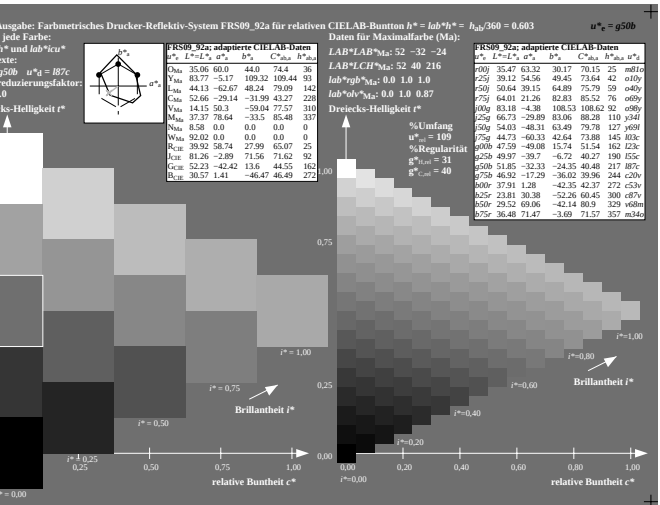

FRS09_92a; adaptierte CIELAB-Daten

	$L^*=L^*_a$	a^*_a	b^*_a	$C^*_{ab,a}$	$h^*_{ab,a}$	u^*_a
O_{Ma}	35.06	60.0	44.0	74.4	36	
Y_{Ma}	83.77	−5.17	109.32	109.44	93	
L_{Ma}	44.13	−62.67	48.24	79.09	142	
C_{Ma}	52.66	−29.14	−31.99	43.27	228	
V_{Ma}	14.15	50.3	−59.04	77.57	310	
M_{Ma}	37.37	78.64	−33.5	85.48	337	
N_{Ma}	8.58	0.0	0.0	0.0	0	
W_{Ma}	92.02	0.0	0.0	0.0	0	
R_{CIE}	39.92	58.74	27.99	65.07	25	
J_{CIE}	81.26	−2.89	71.56	71.62	92	
G_{CIE}	52.23	−42.42	13.6	44.55	162	
B_{CIE}	30.57	1.41	−46.47	46.49	272	

	$L^*=L^*_a$	a^*_a	b^*_a	$C^*_{ab,a}$	$h^*_{ab,a}$	u^*_a	
r00j	35.47	63.32	30.17	70.15	25	m81e	
r25j	39.12	54.56	49.45	73.64	42	o10y	
r50j	50.64	39.15	64.89	75.79	59	o40y	
r75j	64.01	21.26	82.83	85.52	76	o69y	
r00y	83.18	−4.38	108.53	108.62	92	o98y	
r25g	66.73	−29.89	83.06	88.28	110	y34f	
r50g	54.03	−48.31	63.49	79.78	127	y69f	
r75g	44.73	−60.33	42.64	73.88	145	t03c	
g00b	47.59	−49.08	15.74	51.54	162	t23c	
g25b	49.97	−39.7	−6.72	40.27	190	t55c	
g50b	51.85	−32.33	−24.35	40.48	217	t87c	
g75b	46.92	−17.29	−36.02	39.96	244	c20v	
b00r	37.91	1.28	−42.35	42.37	272	c53v	
b25r	23.81	30.38	−52.26	60.45	300	c87v	
b50r	29.52	69.06	−42.14	80.9	329	v68m	
b75r	36.48	71.47	−3.69	71.57	357	m34b	

Ein und Ausgabe: Farbmetrisches Drucker-Reflektiv-System FRS09_92a für relativen CIELAB-Buntton $h^* = lab^*h^* = h_{ab}/360 = 0.679$ $u^*_e = g75b$

Daten für jede Farbe:
*lab*tch** und *lab*icu**
Benttontexte:
$u^*_e = g75b$ $u^*_d = c20v$
Kontrastreduzierungsfaktor:
$c_R = 1.0$

Daten für Maximalfarbe (Ma):
*LAB*LAB*$^*_{Ma}$: 47 −17 −36
*LAB*LCH*$^*_{Ma}$: 47 40 244
*lab*rgb*$^*_{Ma}$: 0.0 0.5 1.0
*lab*olv*$^*_{Ma}$: 0.0 0.8 1.0

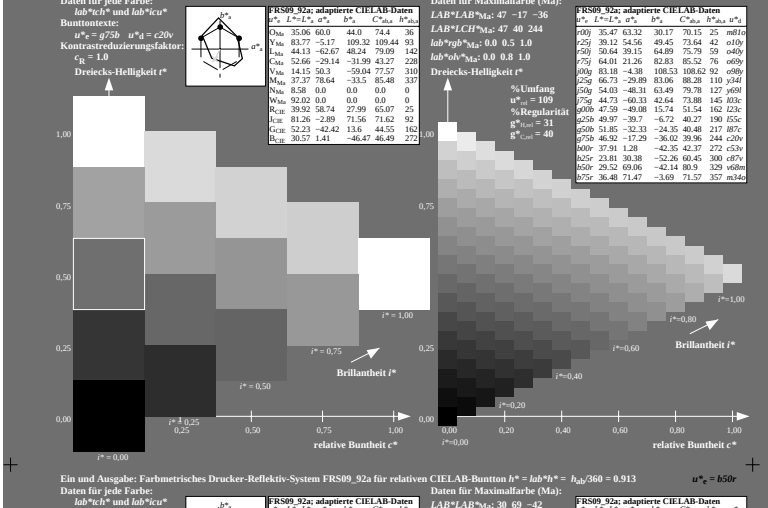

FRS09_92a; adaptierte CIELAB-Daten

	$L^*=L^*_a$	a^*_a	b^*_a	$C^*_{ab,a}$	$h^*_{ab,a}$	u^*_a
O_{Ma}	35.06	60.0	44.0	74.4	36	
Y_{Ma}	83.77	−5.17	109.32	109.44	93	
L_{Ma}	44.13	−62.67	48.24	79.09	142	
C_{Ma}	52.66	−29.14	−31.99	43.27	228	
V_{Ma}	14.15	50.3	−59.04	77.57	310	
M_{Ma}	37.37	78.64	−33.5	85.48	337	
N_{Ma}	8.58	0.0	0.0	0.0	0	
W_{Ma}	92.02	0.0	0.0	0.0	0	
R_{CIE}	39.92	58.74	27.99	65.07	25	
J_{CIE}	81.26	−2.89	71.56	71.62	92	
G_{CIE}	52.23	−42.42	13.6	44.55	162	
B_{CIE}	30.57	1.41	−46.47	46.49	272	

	$L^*=L^*_a$	a^*_a	b^*_a	$C^*_{ab,a}$	$h^*_{ab,a}$	u^*_a	
r00j	35.47	63.32	30.17	70.15	25	m81e	
r25j	39.12	54.56	49.45	73.64	42	o10y	
r50j	50.64	39.15	64.89	75.79	59	o40y	
r75j	64.01	21.26	82.83	85.52	76	o69y	
r00y	83.18	−4.38	108.53	108.62	92	o98y	
r25g	66.73	−29.89	83.06	88.28	110	y34f	
r50g	54.03	−48.31	63.49	79.78	127	y69f	
r75g	44.73	−60.33	42.64	73.88	145	t03c	
g00b	47.59	−49.08	15.74	51.54	162	t23c	
g25b	49.97	−39.7	−6.72	40.27	190	t55c	
g50b	51.85	−32.33	−24.35	40.48	217	t87c	
g75b	46.92	−17.29	−36.02	39.96	244	c20v	
b00r	37.91	1.28	−42.35	42.37	272	c53v	
b25r	23.81	30.38	−52.26	60.45	300	c87v	
b50r	29.52	69.06	−42.14	80.9	329	v68m	
b75r	36.48	71.47	−3.69	71.57	357	m34b	

Ein und Ausgabe: Farbmetrisches Drucker-Reflektiv-System FRS09_92a für relativen CIELAB-Buntton $h^* = lab^*h^* = h_{ab}/360 = 0.755$ $u^*_e = b00r$

Daten für jede Farbe:
*lab*tch** und *lab*icu**
Benttontexte:
$u^*_e = b00r$ $u^*_d = c53v$
Kontrastreduzierungsfaktor:
$c_R = 1.0$

Daten für Maximalfarbe (Ma):
*LAB*LAB*$^*_{Ma}$: 38 1 −42
*LAB*LCH*$^*_{Ma}$: 38 42 271
*lab*rgb*$^*_{Ma}$: 0.0 0.0 1.0
*lab*olv*$^*_{Ma}$: 0.0 0.47 1.0

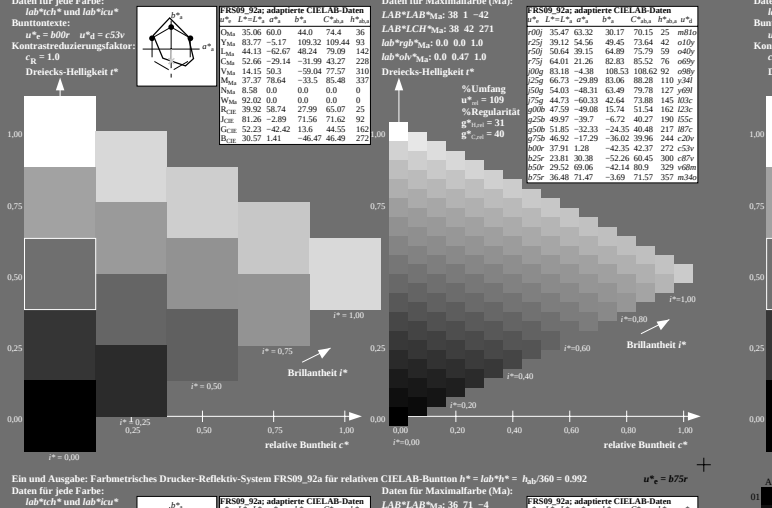

FRS09_92a; adaptierte CIELAB-Daten

	$L^*=L^*_a$	a^*_a	b^*_a	$C^*_{ab,a}$	$h^*_{ab,a}$	u^*_a
O_{Ma}	35.06	60.0	44.0	74.4	36	
Y_{Ma}	83.77	−5.17	109.32	109.44	93	
L_{Ma}	44.13	−62.67	48.24	79.09	142	
C_{Ma}	52.66	−29.14	−31.99	43.27	228	
V_{Ma}	14.15	50.3	−59.04	77.57	310	
M_{Ma}	37.37	78.64	−33.5	85.48	337	
N_{Ma}	8.58	0.0	0.0	0.0	0	
W_{Ma}	92.02	0.0	0.0	0.0	0	
R_{CIE}	39.92	58.74	27.99	65.07	25	
J_{CIE}	81.26	−2.89	71.56	71.62	92	
G_{CIE}	52.23	−42.42	13.6	44.55	162	
B_{CIE}	30.57	1.41	−46.47	46.49	272	

	$L^*=L^*_a$	a^*_a	b^*_a	$C^*_{ab,a}$	$h^*_{ab,a}$	u^*_a	
r00j	35.47	63.32	30.17	70.15	25	m81e	
r25j	39.12	54.56	49.45	73.64	42	o10y	
r50j	50.64	39.15	64.89	75.79	59	o40y	
r75j	64.01	21.26	82.83	85.52	76	o69y	
r00y	83.18	−4.38	108.53	108.62	92	o98y	
r25g	66.73	−29.89	83.06	88.28	110	y34f	
r50g	54.03	−48.31	63.49	79.78	127	y69f	
r75g	44.73	−60.33	42.64	73.88	145	t03c	
g00b	47.59	−49.08	15.74	51.54	162	t23c	
g25b	49.97	−39.7	−6.72	40.27	190	t55c	
g50b	51.85	−32.33	−24.35	40.48	217	t87c	
g75b	46.92	−17.29	−36.02	39.96	244	c20v	
b00r	37.91	1.28	−42.35	42.37	272	c53v	
b25r	23.81	30.38	−52.26	60.45	300	c87v	
b50r	29.52	69.06	−42.14	80.9	329	v68m	
b75r	36.48	71.47	−3.69	71.57	357	m34b	

Ein und Ausgabe: Farbmetrisches Drucker-Reflektiv-System FRS09_92a für relativen CIELAB-Buntton $h^* = lab^*h^* = h_{ab}/360 = 0.834$ $u^*_e = b25r$

Daten für jede Farbe:
*lab*tch** und *lab*icu**
Benttontexte:
$u^*_e = b25r$ $u^*_d = c87v$
Kontrastreduzierungsfaktor:
$c_R = 1.0$

Daten für Maximalfarbe (Ma):
*LAB*LAB*$^*_{Ma}$: 24 30 −52
*LAB*LCH*$^*_{Ma}$: 24 60 300
*lab*rgb*$^*_{Ma}$: 0.5 0.0 1.0
*lab*olv*$^*_{Ma}$: 0.0 0.12 1.0

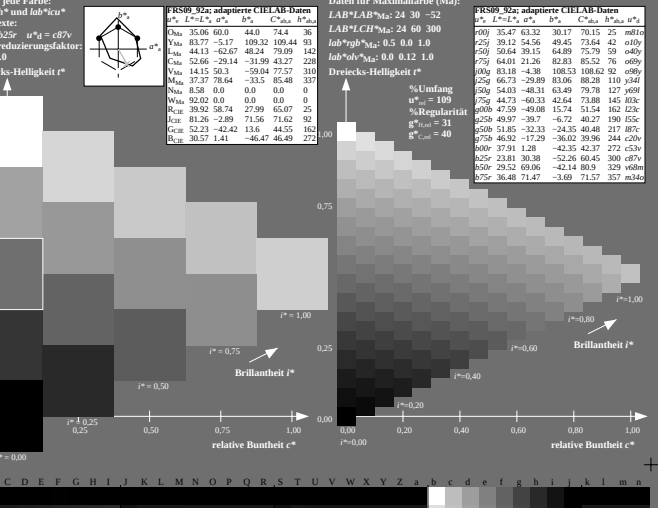

FRS09_92a; adaptierte CIELAB-Daten

	$L^*=L^*_a$	a^*_a	b^*_a	$C^*_{ab,a}$	$h^*_{ab,a}$	u^*_a
O_{Ma}	35.06	60.0	44.0	74.4	36	
Y_{Ma}	83.77	−5.17	109.32	109.44	93	
L_{Ma}	44.13	−62.67	48.24	79.09	142	
C_{Ma}	52.66	−29.14	−31.99	43.27	228	
V_{Ma}	14.15	50.3	−59.04	77.57	310	
M_{Ma}	37.37	78.64	−33.5	85.48	337	
N_{Ma}	8.58	0.0	0.0	0.0	0	
W_{Ma}	92.02	0.0	0.0	0.0	0	
R_{CIE}	39.92	58.74	27.99	65.07	25	
J_{CIE}	81.26	−2.89	71.56	71.62	92	
G_{CIE}	52.23	−42.42	13.6	44.55	162	
B_{CIE}	30.57	1.41	−46.47	46.49	272	

	$L^*=L^*_a$	a^*_a	b^*_a	$C^*_{ab,a}$	$h^*_{ab,a}$	u^*_a	
r00j	35.47	63.32	30.17	70.15	25	m81e	
r25j	39.12	54.56	49.45	73.64	42	o10y	
r50j	50.64	39.15	64.89	75.79	59	o40y	
r75j	64.01	21.26	82.83	85.52	76	o69y	
r00y	83.18	−4.38	108.53	108.62	92	o98y	
r25g	66.73	−29.89	83.06	88.28	110	y34f	
r50g	54.03	−48.31	63.49	79.78	127	y69f	
r75g	44.73	−60.33	42.64	73.88	145	t03c	
g00b	47.59	−49.08	15.74	51.54	162	t23c	
g25b	49.97	−39.7	−6.72	40.27	190	t55c	
g50b	51.85	−32.33	−24.35	40.48	217	t87c	
g75b	46.92	−17.29	−36.02	39.96	244	c20v	
b00r	37.91	1.28	−42.35	42.37	272	c53v	
b25r	23.81	30.38	−52.26	60.45	300	c87v	
b50r	29.52	69.06	−42.14	80.9	329	v68m	
b75r	36.48	71.47	−3.69	71.57	357	m34b	

Ein und Ausgabe: Farbmetrisches Drucker-Reflektiv-System FRS09_92a für relativen CIELAB-Buntton $h^* = lab^*h^* = h_{ab}/360 = 0.913$ $u^*_e = b50r$

Daten für jede Farbe:
*lab*tch** und *lab*icu**
Benttontexte:
$u^*_e = b50r$ $u^*_d = v68m$
Kontrastreduzierungsfaktor:
$c_R = 1.0$

Daten für Maximalfarbe (Ma):
*LAB*LAB*$^*_{Ma}$: 30 69 −42
*LAB*LCH*$^*_{Ma}$: 30 81 328
*lab*rgb*$^*_{Ma}$: 1.0 0.0 1.0
*lab*olv*$^*_{Ma}$: 0.69 0.0 1.0

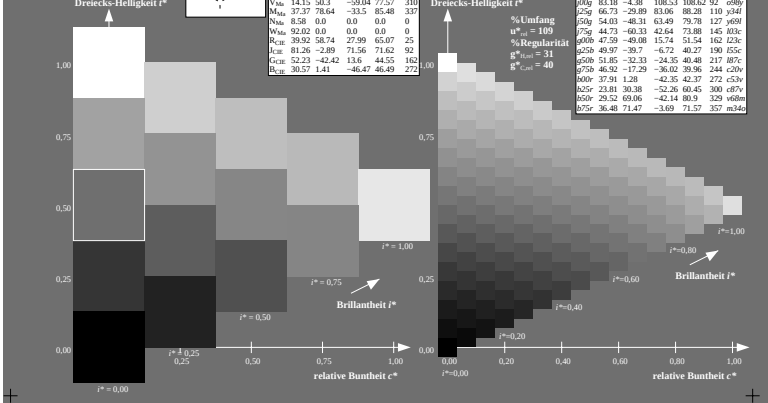

FRS09_92a; adaptierte CIELAB-Daten

	$L^*=L^*_a$	a^*_a	b^*_a	$C^*_{ab,a}$	$h^*_{ab,a}$	u^*_a
O_{Ma}	35.06	60.0	44.0	74.4	36	
Y_{Ma}	83.77	−5.17	109.32	109.44	93	
L_{Ma}	44.13	−62.67	48.24	79.09	142	
C_{Ma}	52.66	−29.14	−31.99	43.27	228	
V_{Ma}	14.15	50.3	−59.04	77.57	310	
M_{Ma}	37.37	78.64	−33.5	85.48	337	
N_{Ma}	8.58	0.0	0.0	0.0	0	
W_{Ma}	92.02	0.0	0.0	0.0	0	
R_{CIE}	39.92	58.74	27.99	65.07	25	
J_{CIE}	81.26	−2.89	71.56	71.62	92	
G_{CIE}	52.23	−42.42	13.6	44.55	162	
B_{CIE}	30.57	1.41	−46.47	46.49	272	

	$L^*=L^*_a$	a^*_a	b^*_a	$C^*_{ab,a}$	$h^*_{ab,a}$	u^*_a	
r00j	35.47	63.32	30.17	70.15	25	m81e	
r25j	39.12	54.56	49.45	73.64	42	o10y	
r50j	50.64	39.15	64.89	75.79	59	o40y	
r75j	64.01	21.26	82.83	85.52	76	o69y	
r00y	83.18	−4.38	108.53	108.62	92	o98y	
r25g	66.73	−29.89	83.06	88.28	110	y34f	
r50g	54.03	−48.31	63.49	79.78	127	y69f	
r75g	44.73	−60.33	42.64	73.88	145	t03c	
g00b	47.59	−49.08	15.74	51.54	162	t23c	
g25b	49.97	−39.7	−6.72	40.27	190	t55c	
g50b	51.85	−32.33	−24.35	40.48	217	t87c	
g75b	46.92	−17.29	−36.02	39.96	244	c20v	
b00r	37.91	1.28	−42.35	42.37	272	c53v	
b25r	23.81	30.38	−52.26	60.45	300	c87v	
b50r	29.52	69.06	−42.14	80.9	329	v68m	
b75r	36.48	71.47	−3.69	71.57	357	m34b	

Ein und Ausgabe: Farbmetrisches Drucker-Reflektiv-System FRS09_92a für relativen CIELAB-Buntton $h^* = lab^*h^* = h_{ab}/360 = 0.992$ $u^*_e = b75r$

Daten für jede Farbe:
*lab*tch** und *lab*icu**
Benttontexte:
$u^*_e = b75r$ $u^*_d = m34o$
Kontrastreduzierungsfaktor:
$c_R = 1.0$

Daten für Maximalfarbe (Ma):
*LAB*LAB*$^*_{Ma}$: 36 71 −4
*LAB*LCH*$^*_{Ma}$: 36 72 357
*lab*rgb*$^*_{Ma}$: 1.0 0.0 0.5
*lab*olv*$^*_{Ma}$: 1.0 0.0 0.66

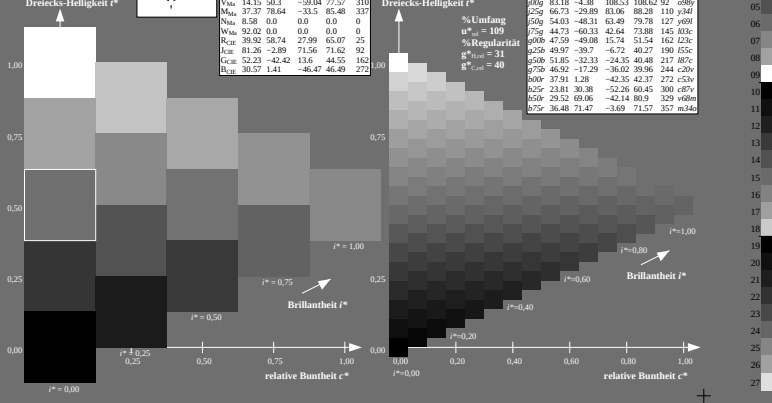

FRS09_92a; adaptierte CIELAB-Daten

	$L^*=L^*_a$	a^*_a	b^*_a	$C^*_{ab,a}$	$h^*_{ab,a}$	u^*_a
O_{Ma}	35.06	60.0	44.0	74.4	36	
Y_{Ma}	83.77	−5.17	109.32	109.44	93	
L_{Ma}	44.13	−62.67	48.24	79.09	142	
C_{Ma}	52.66	−29.14	−31.99	43.27	228	
V_{Ma}	14.15	50.3	−59.04	77.57	310	
M_{Ma}	37.37	78.64	−33.5	85.48	337	
N_{Ma}	8.58	0.0	0.0	0.0	0	
W_{Ma}	92.02	0.0	0.0	0.0	0	
R_{CIE}	39.92	58.74	27.99	65.07	25	
J_{CIE}	81.26	−2.89	71.56	71.62	92	
G_{CIE}	52.23	−42.42	13.6	44.55	162	
B_{CIE}	30.57	1.41	−46.47	46.49	272	
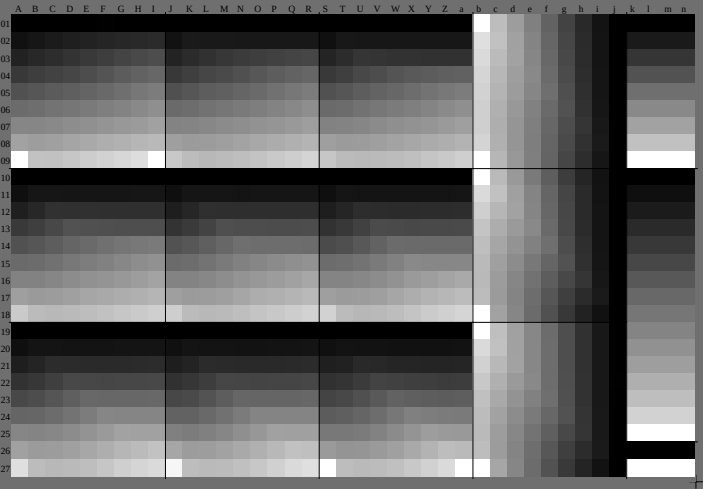
	$L^*=L^*_a$	a^*_a	b^*_a	$C^*_{ab,a}$	$h^*_{ab,a}$	u^*_a	
r00j	35.47	63.32	30.17	70.15	25	m81e	
r25j	39.12	54.56	49.45	73.64	42	o10y	
r50j	50.64	39.15	64.89	75.79	59	o40y	
r75j	64.01	21.26	82.83	85.52	76	o69y	
r00y	83.18	−4.38	108.53	108.62	92	o98y	
r25g	66.73	−29.89	83.06	88.28	110	y34f	
r50g	54.03	−48.31	63.49	79.78	127	y69f	
r75g	44.73	−60.33	42.64	73.88	145	t03c	
g00b	47.59	−49.08	15.74	51.54	162	t23c	
g25b	49.97	−39.7	−6.72	40.27	190	t55c	
g50b	51.85	−32.33	−24.35	40.48	217	t87c	
g75b	46.92	−17.29	−36.02	39.96	244	c20v	
b00r	37.91	1.28	−42.35	42.37	272	c53v	
b25r	23.81	30.38	−52.26	60.45	300	c87v	
b50r	29.52	69.06	−42.14	80.9	329	v68m	
b75r	36.48	71.47	−3.69	71.57	357	m34b